



脱炭素に
技術と叡智
IHI

九州産業保安監督部

令和5年度ボイラー・タービン主任技術者会議（九州） 講演資料

火力発電ボイラにおける 保守高度化と工期短縮に向けた取り組み

IHI

2024年2月14日

株式会社**IHI**

資源・エネルギー・環境事業領域

カーボンソリューションSBU

プロジェクト統括センター

国内プロジェクト部

大澤 肇

目 次

1. はじめに
2. ボイラ保守運転支援システム(MEDICUS NAVI)
3. ボイラ点検補修における新技術導入
4. 耐圧部の延命対策
5. おわりに

1. はじめに



IHI



1. はじめに - 事業内容とSDGsの取組み

事業領域と製品群

資源・エネルギー・環境事業

(ボイラ、ガスタービン、ガスエンジン、LNGターミナル、プロセスプラント、原子力機器 他)

目標7: エネルギーをみんなにそしてクリーンに



目標13: 気候変動に具体的な対策を

航空・宇宙・防衛事業 (ジェットエンジン、ロケット)



社会基盤・海洋事業 (橋梁、交通システム、安全 他)

産業システム事業 (製鉄機械、熱処理・表面処理、物流システム 他)

汎用機械事業 (圧縮機、分離機、ターボチャージャー 他)



1. はじめに - IHI カーボンニュートラル2050

IHIカーボンニュートラル2050

IHIグループは、2050年までに、
バリューチェーン全体でカーボンニュートラルを実現する

カーボンニュートラルに向けた主な取組み



1.1 はじめに

背景

火力発電を取り巻く環境の変化

- ・温室効果ガスの削減（2030年^{*1}, 2050年^{*2}）

- ・定検期間短縮, 定検インターバル延長（4年から6年）
電力小売りの全面自由化, 再生エネルギーの増加
プラント稼働率向上(メンテナンスコスト削減)

課題

定検期間短縮, 定検周期延伸の課題

^{*1}: 2013年度比46%削減

^{*2}: カーボンニュートラル

- ・定検インターバル延長にともなう連続運転期間の長期化
- ・工事期間の短縮(計画工事, 突発工事の削減)
- ・計画外プラント停止の削減と復旧工事期間の短縮化
- ・労働人口減少に伴う工事作業員確保 etc …

新技術 の導入

- ・DT / ITでプラントの運転状態・劣化状態を把握し, 計画的な補修を立案
- ・工期短縮につながる検査技術や工法・手法を導入

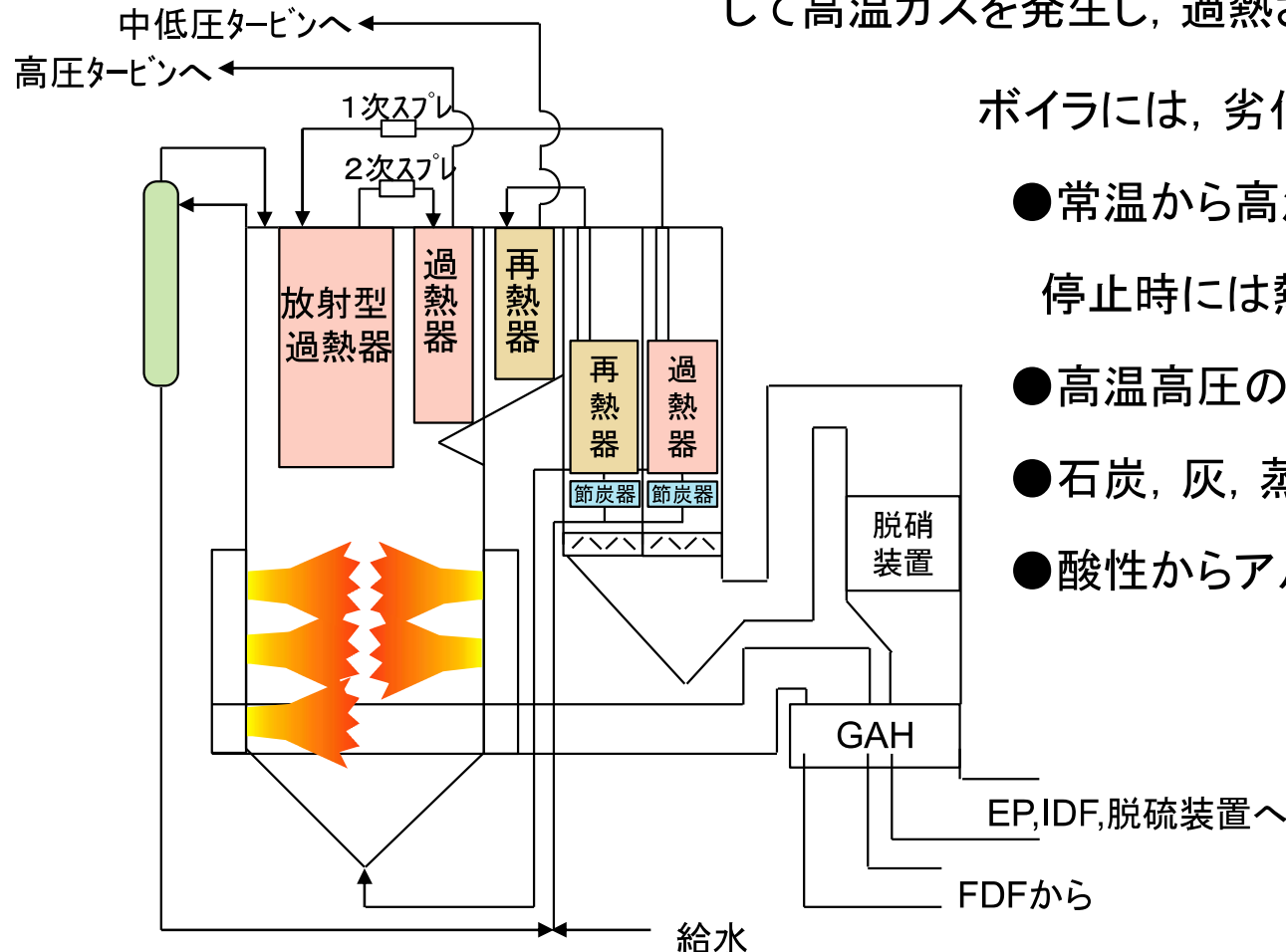
1.1 はじめに

提供価値

稼働率UP	計画外停止の予防 ボイラ耐圧部, 大型回転機, ミル等の予防保全, 運転支援 計画外停止からの早期復旧 特急補修対応 定検停止期間の短縮 最適な工法提案, 特急補修対応, インターバル延長
効率UP・ 環境負荷低減	プラント効率の改善 渴きガス損失, 未燃損失, 所内動力等の改善 環境負荷の低減 水素・アンモニア, バイオ燃料の活用
運用性UP ・OPEX削減	多炭種対応 制御最適化, 石炭の評価・選定, ブレンド支援等 最低負荷低減・負荷応答性の向上 再生エネルギー導入対応等 保守管理の高度化 檢査・工事履歴管理の効率化, 可視化 省人化・無駄な検査, 工事の削減 部品損傷予測, 寿命診断

1.2 ボイラの劣化・損傷

ボイラの劣化・損傷の背景



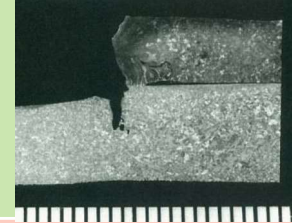
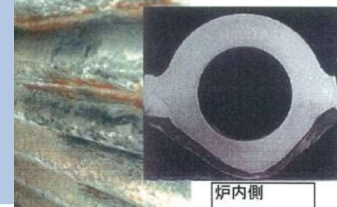
ボイラは火炉を持つ熱交換器であり、火炉では燃料が燃焼して高温ガスを発生し、過熱された蒸気は高温・高圧となる。

ボイラには、劣化や損傷につながる環境が存在。

- 常温から高温までの部位が存在し、起動・停止時には熱伸びに差が発生（**疲労**）
- 高温高压の過酷な使用環境（**クリープ**）
- 石炭、灰、蒸気などの**摩耗**環境
- 酸性からアルカリ性まで幅広い**腐食**環境

1.2 ボイラの劣化・損傷

ボイラの損傷形態について代表的な損傷例を以下に示す。

形態	事象	サンプル
疲労	熱歪や振動の繰返しで損傷	 
クリープ	過熱による管の強度低下で損傷	
摩耗	石炭, 灰, 蒸気による摩耗減肉で損傷	
腐食	燃料ガス中の腐食成分による減肉で損傷	

1.2 ボイラの劣化・損傷

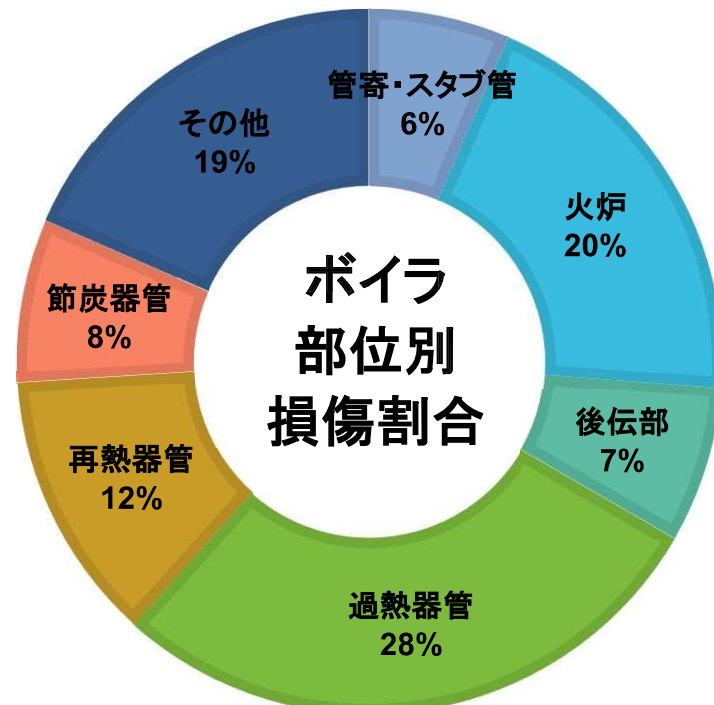
ボイラの部位別の損傷割合に示す通り、過熱器、火炉、再熱器での損傷が多く、3箇所の合計は全体の約6割を占める。

その耐圧部において、要因別に集計すると、「クリープ損傷および疲労」が多い。

ボイラでは、寿命や損傷を評価し、適切なメンテナンス計画を立案することが重要。

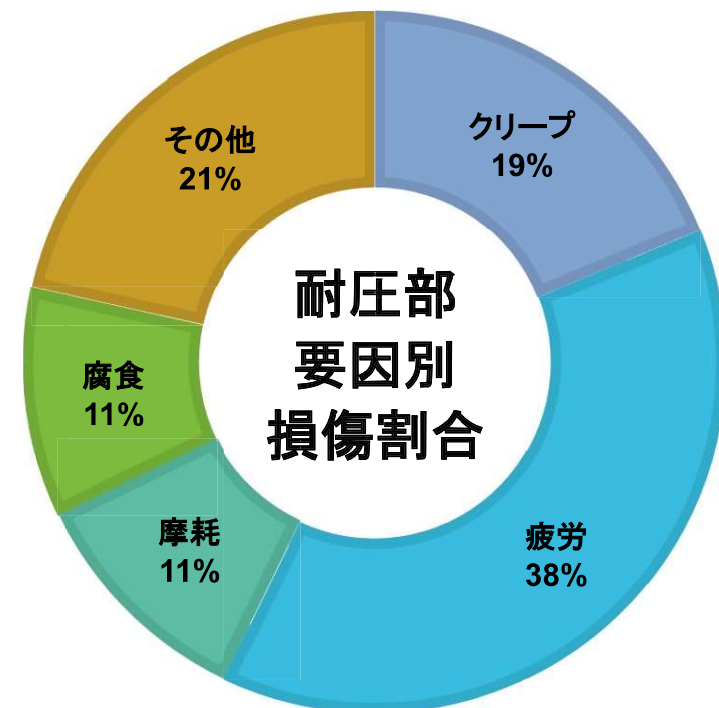
部位別

2022年12月31日現在



要因別(耐圧部)

2022年12月31日現在



2.ボイラ保守運転支援システム(MEDICUS NAVI)

- 2.1 MEDICUS NAVI概要
- 2.2 遠隔監視・異常診断システム
- 2.3 ボイラカルテ
- 2.4 保守高度化機能
- 2.5 運転支援システム(AI)



MEDICUS NAVI

2.1 MEDICUS NAVI概要

～お客様の「想い」を叶えるソリューションを目指して～

様々な課題に対して「ボイラメーカーとして最大限のサポートをしたい」と言う想いから、
お客様とIHIをつなぐ運転・保守支援システムとして『MEDICUS NAVI』を開発。

これまでの開発の成果として

国内電力会社に協力いただき、以下を共同開発・納入した。

- ・保守高度化機能
- ・M-NAVIの基本機能
- ・AIによるボイラー燃焼調整最適化支援システム

また、海外電力会社と、石炭焚火力発電所において、IoTを活用した火力発電所向け遠隔監視サービスの実証試験を完了し、予定通りの結果を確認した。

お客様とともに、膨大な運用データや設備メンテナンスデータを共有し、最適なソリューションと一緒に考えていけるツールとして『MEDICUS NAVI』の開発を行う。

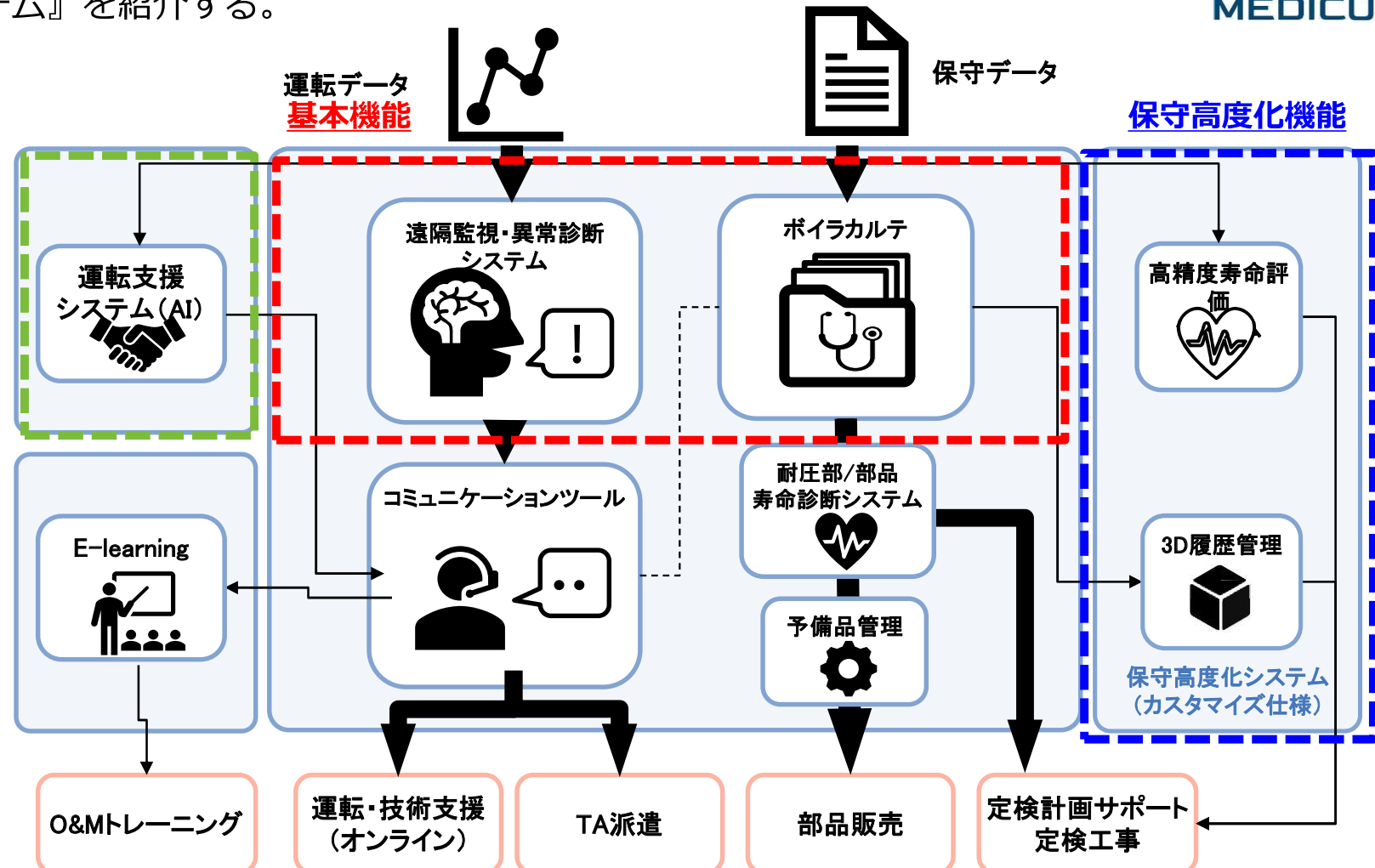
【名前の由来】

ボイラの医者(ラテン語：Medicus)として、お客様に寄り添い、
お客様課題解決までの道のりを案内(英語：Navigation)するシステム。

2.1 MEDICUS NAVI概要

システム概念図

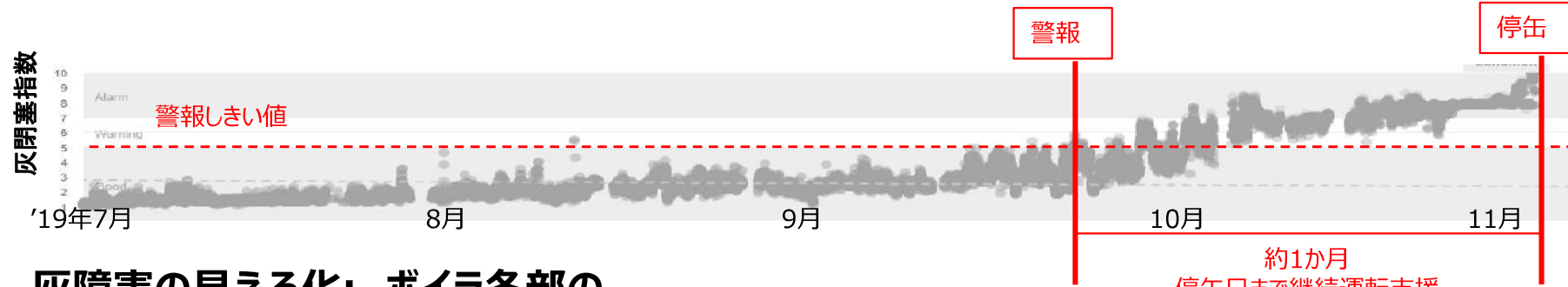
MEDICUS NAVIは各種アプリケーションの連携によりシステムが構成されます。そのうち、以下に示す『基本機能』と『保守高度化機能』および『運転支援システム』を紹介する。



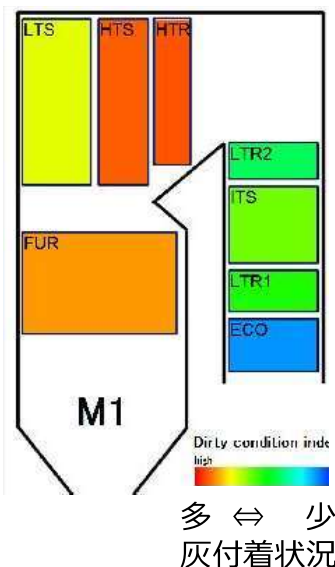
2.2 遠隔監視・異常診断システム

異常診断システム ~ボイラの重度灰閉塞~

ボイラ灰閉塞指数：収熱状況によるボイラ全体としての灰閉塞指標



灰障害の見える化：ボイラ各部の
灰付着状況のヒートマップ表示



- 本計測から2019年9月下旬から灰閉塞を検知
- 停缶までの期間、運転支援に基づく延命措置
(灰障害見える化に基づく最適 S B 運用等)
- 停缶後観察により、措置の正当性を確認
- 停缶時の補修を事前に計画可能

2.3 ボイラカルテ

点検記録、事故記録、部品補修記録といったメンテナンス情報を一元管理することにより、類似トラブルの再発防止やメンテナンス効率の向上を目的とする。

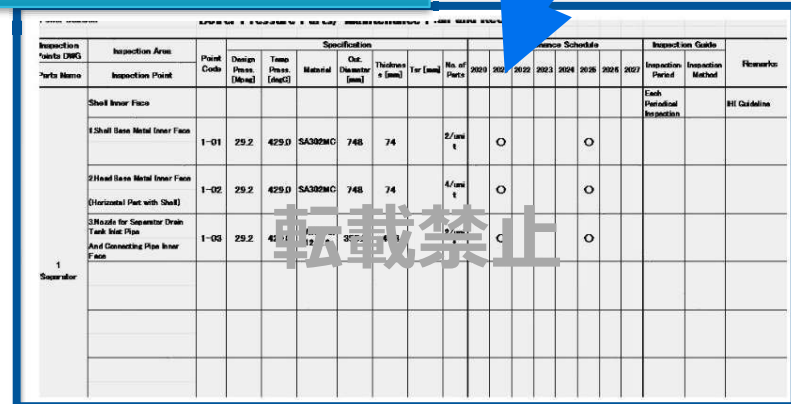


IHIと情報を共有

点検画面やメンテナンス計画/記録を準備し、有意義な情報を一元管理できるようサポート

ボイラメーカーとしての知見より、より良いメンテナンス計画をご提案

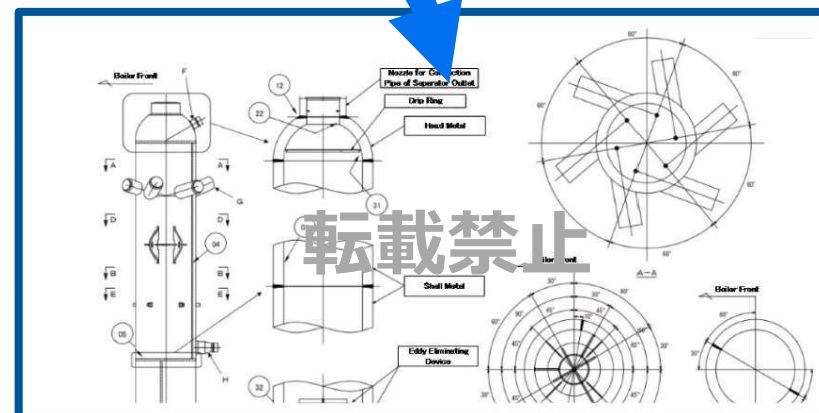
メンテナンス情報の一元管理



A detailed maintenance record table for a 'Separator'. The table includes columns for Inspection Areas (Point Name), Point Code, Design Pressure (MPa), Test Pressure (degC), Material, Outer Diameter (mm), Thickness (mm), Yr (mm), No. of Parts, and Inspection Period (2020-2025). It also includes sections for 'Inspection Guide' and 'Remarks'. Specific rows are listed for 'Shell Inner Face', 'Head Base Metal Inner Face', and 'Nozzle for Separator Drain Tank Side Pipe And Connecting Pipe Inner Face'.

メンテナンス記録(保守履歴管理表)

ボイラカルテTop画面



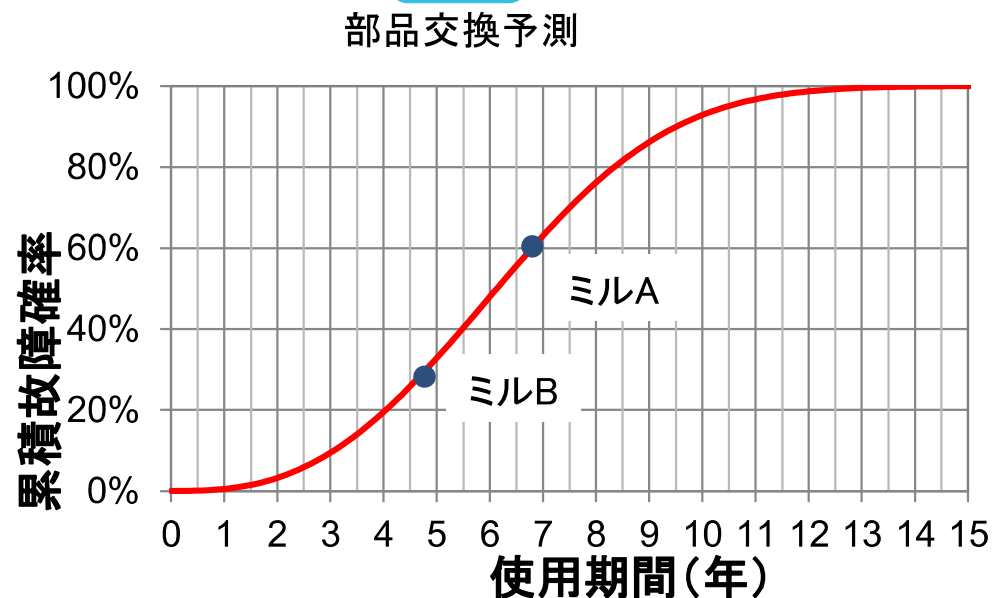
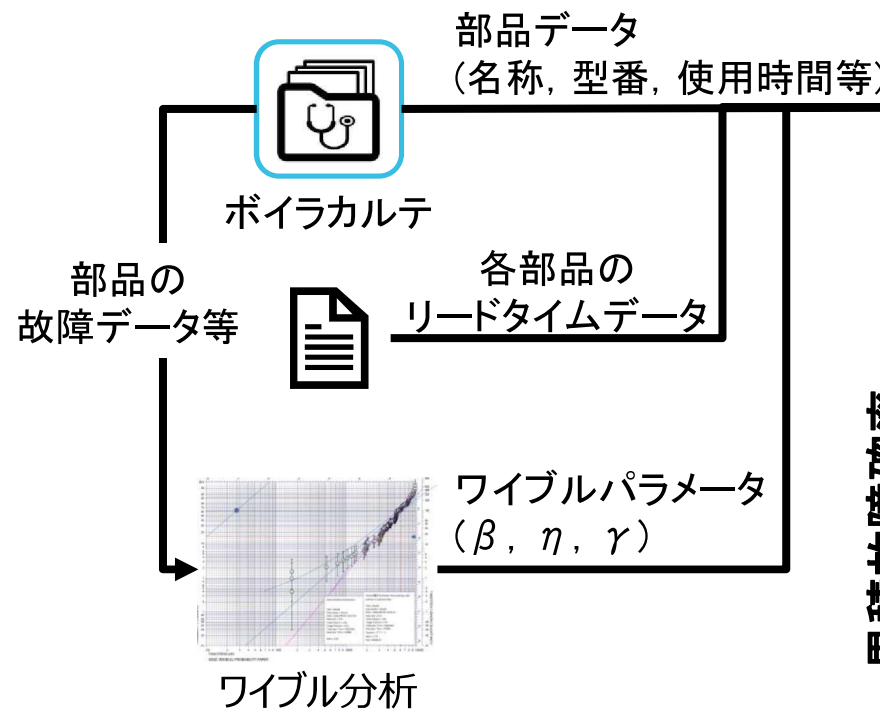
点検図面

2.3 ボイラカルテ

メンテナンス情報の活用例

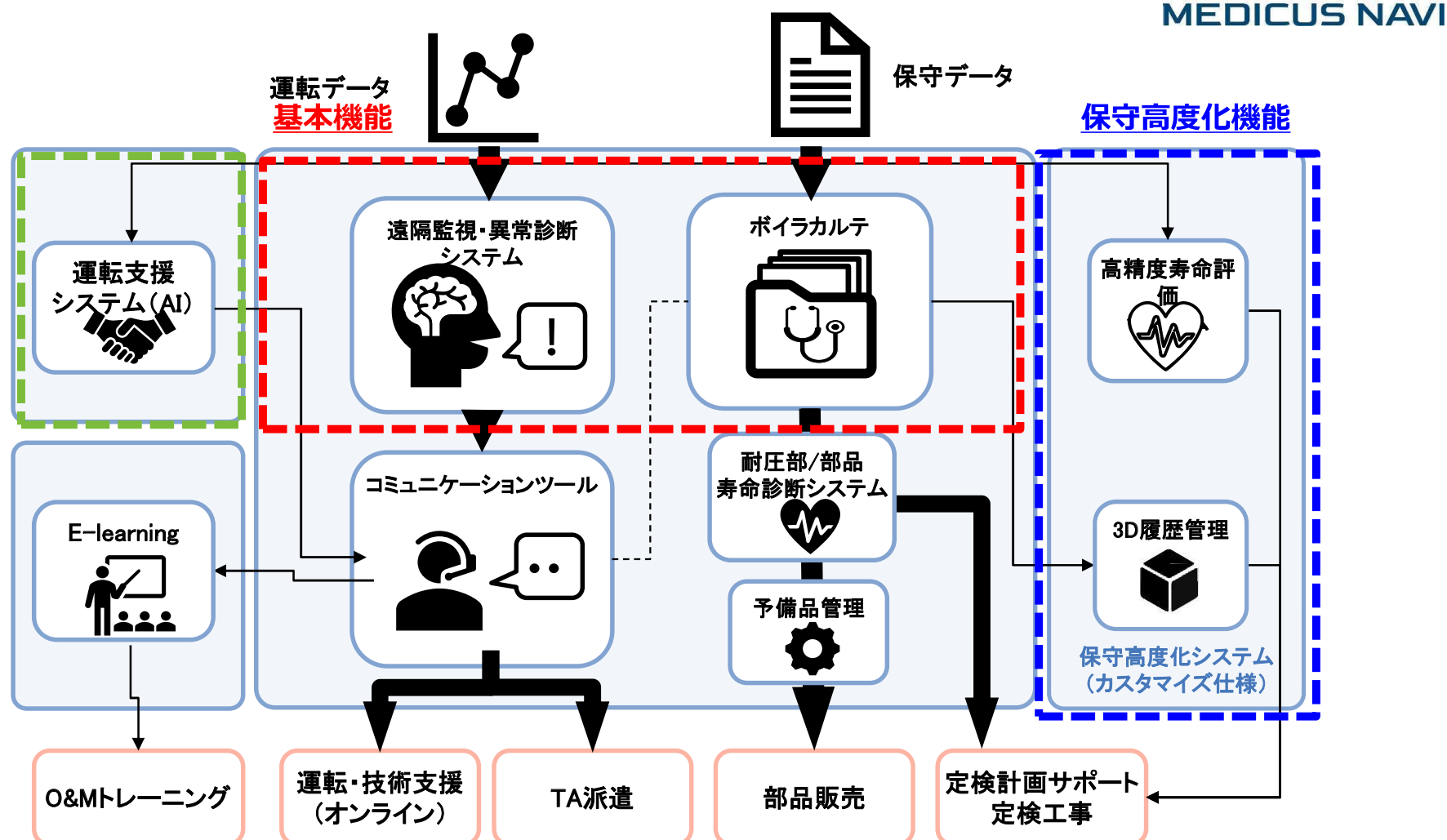
故障データを活用した部品交換予測

MEDICUS NAVIのアプリケーションの一つに，“耐圧部/部品寿命診断システム”がある。ここでは、ボイラカルテに蓄積された故障データに対し、ワイブル解析における信頼性評価関数を求めることで当該部品の累積故障確率を計算・表示する。



2.4 保守高度化機能

システム概念図



2.4 保守高度化機能

保守高度化システムの目的

ボイラの運転監視と寿命評価の精度向上ならびに保守計画の最適化・省力化を図るために ボイラ保守高度化システム を開発

高精度寿命評価
システム



1. 運転監視の精度向上

ボイラの温度分布の把握精度向上を図るとともに、運転データ等を基に、これまで把握できなかった箇所の温度を補間のうえ、3D表示
→ボイラの運転状態を直観的に認識可能。

2. 寿命評価の精度向上

1. より得られる詳細な温度データのほか、ボイラの構造データや圧力、蒸気温度などの各種運転データを用いて、ボイラ管 1 本 1 本に加わる熱や力（応力）を解析することにより、管の寿命評価の精度向上を実現
→不具合が発生する可能性が高い箇所を予測可能。

3D履歴管理



保守高度化システム
(カスタマイズ仕様)

3. 保守計画の最適化・省力化

従来、過去の膨大な保守履歴の確認作業に多大な時間と労力が必要
過去の検査・修繕実績、不具合履歴をデータベース化し、保守計画業務の省力化を実現。
→蓄積したデータを、ボイラの3D画像で色分けして表示し、保守すべき箇所を抜け漏れなく容易に把握可能。

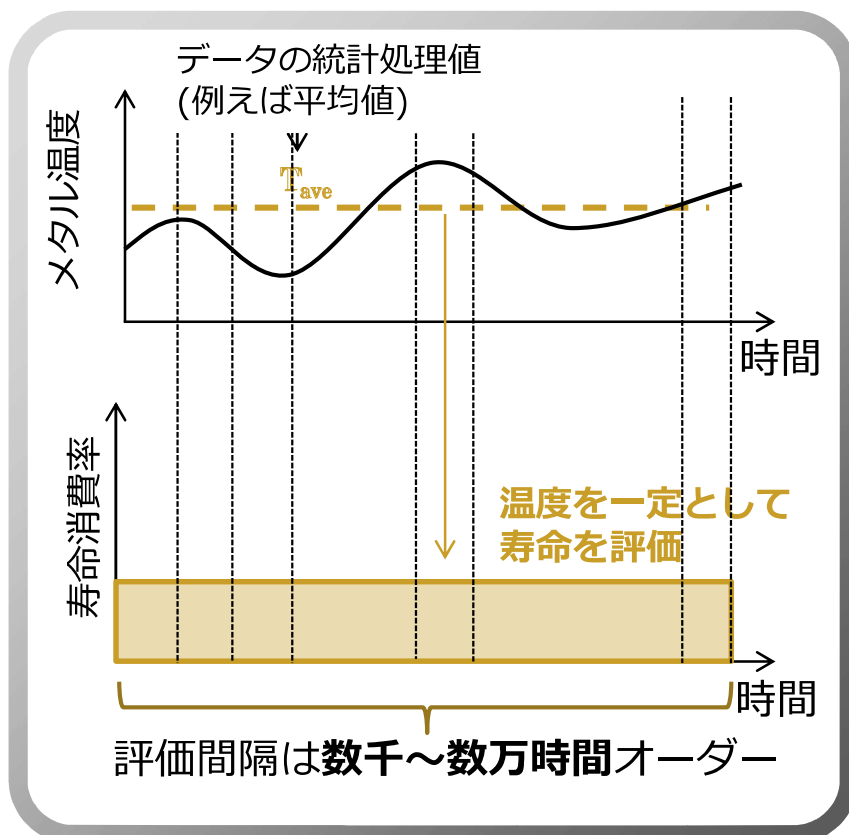
2.4 保守高度化機能

高精度寿命評価システム(1/3)

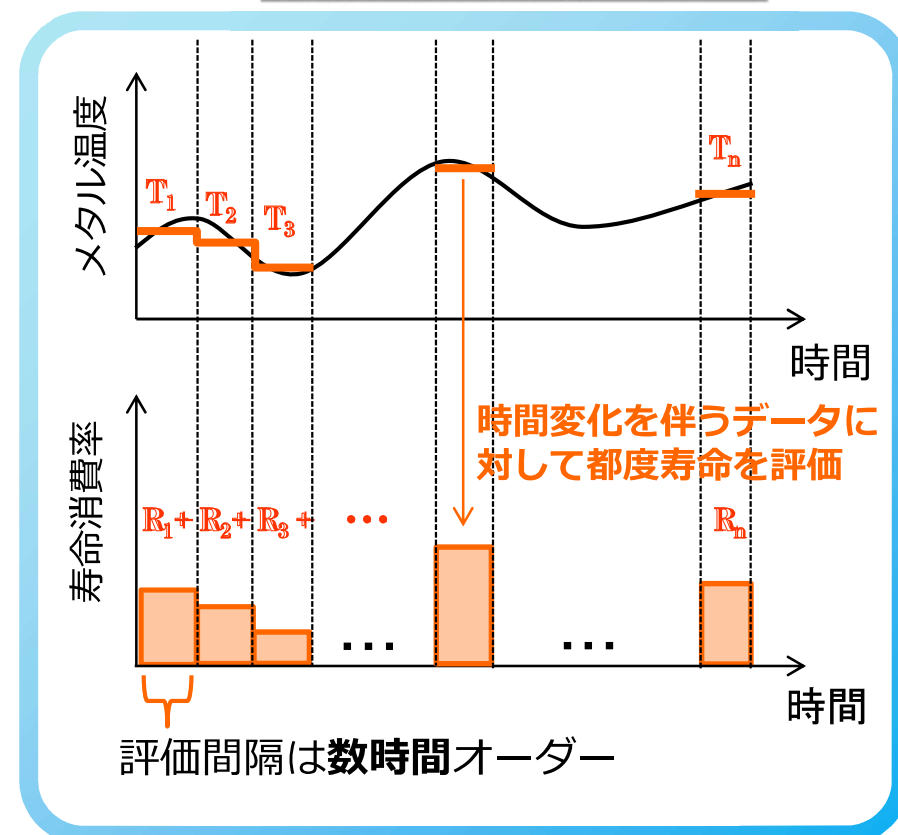
<寿命消費率の累積について>

従来の方法に比べ、高精度寿命評価システムでは時間変化する温度/圧力等の運転データに対し細かい間隔で寿命を評価。

従来



高精度寿命評価システム



⇒予測精度の向上に伴い、補修計画の最適化にも期待

2.4 保守高度化機能

3D履歴管理システム概要

蓄積した保守履歴データについて、データベース化し検索が簡素化

3D履歴管理



保守履歴の管理が容易となり、保守計画の最適化・省力化が可能

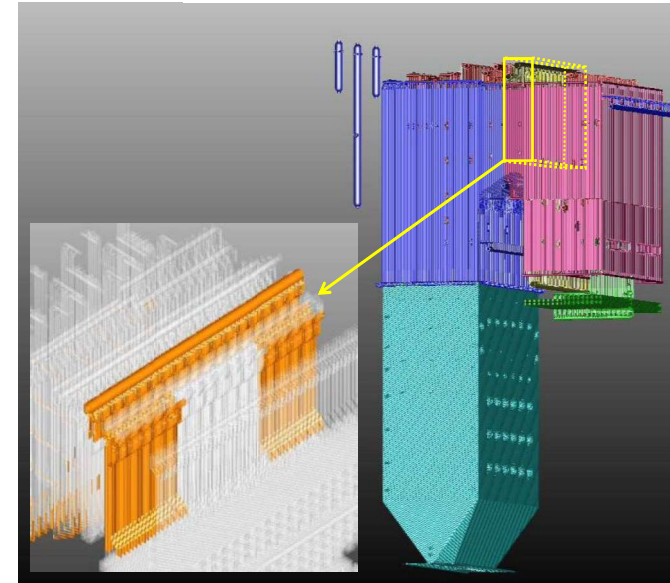
①ボイラー部位別保守結果を登録

発生年月日(西暦)	部位名	実施期間(時間)[h]	内因時間	代用工具	曲号
2024/01/01	ボイラ	100	100		51140001
2024/01/02	ボイラ	100	100		51140002
2024/01/03	ボイラ	100	100		51140003
2024/01/04	ボイラ	100	100		51140004
2024/01/05	ボイラ	100	100		51140005
2024/01/06	ボイラ	100	100		51140006
2024/01/07	ボイラ	100	100		51140007
2024/01/08	ボイラ	100	100		51140008
2024/01/09	ボイラ	100	100		51140009
2024/01/10	ボイラ	100	100		51140010
2024/01/11	ボイラ	100	100		51140011
2024/01/12	ボイラ	100	100		51140012
2024/01/13	ボイラ	100	100		51140013
2024/01/14	ボイラ	100	100		51140014
2024/01/15	ボイラ	100	100		51140015
2024/01/16	ボイラ	100	100		51140016
2024/01/17	ボイラ	100	100		51140017
2024/01/18	ボイラ	100	100		51140018
2024/01/19	ボイラ	100	100		51140019
2024/01/20	ボイラ	100	100		51140020
2024/01/21	ボイラ	100	100		51140021
2024/01/22	ボイラ	100	100		51140022
2024/01/23	ボイラ	100	100		51140023
2024/01/24	ボイラ	100	100		51140024
2024/01/25	ボイラ	100	100		51140025
2024/01/26	ボイラ	100	100		51140026
2024/01/27	ボイラ	100	100		51140027
2024/01/28	ボイラ	100	100		51140028
2024/01/29	ボイラ	100	100		51140029
2024/01/30	ボイラ	100	100		51140030
2024/01/31	ボイラ	100	100		51140031

②保守履歴管理表

機器名 No.		点検箇所 内容	設計圧力 MPa	設計温度 ℃	設計材質	外径 mm	壁厚 mm	長さ mm	設備番号	保守 管理 スケジュール (年度)	検査指針	点検 年度	検査 手法	備考
ボイラ	点検箇所 部位	点検箇所 部位	点検箇所 部位	点検箇所 部位	点検箇所 部位									

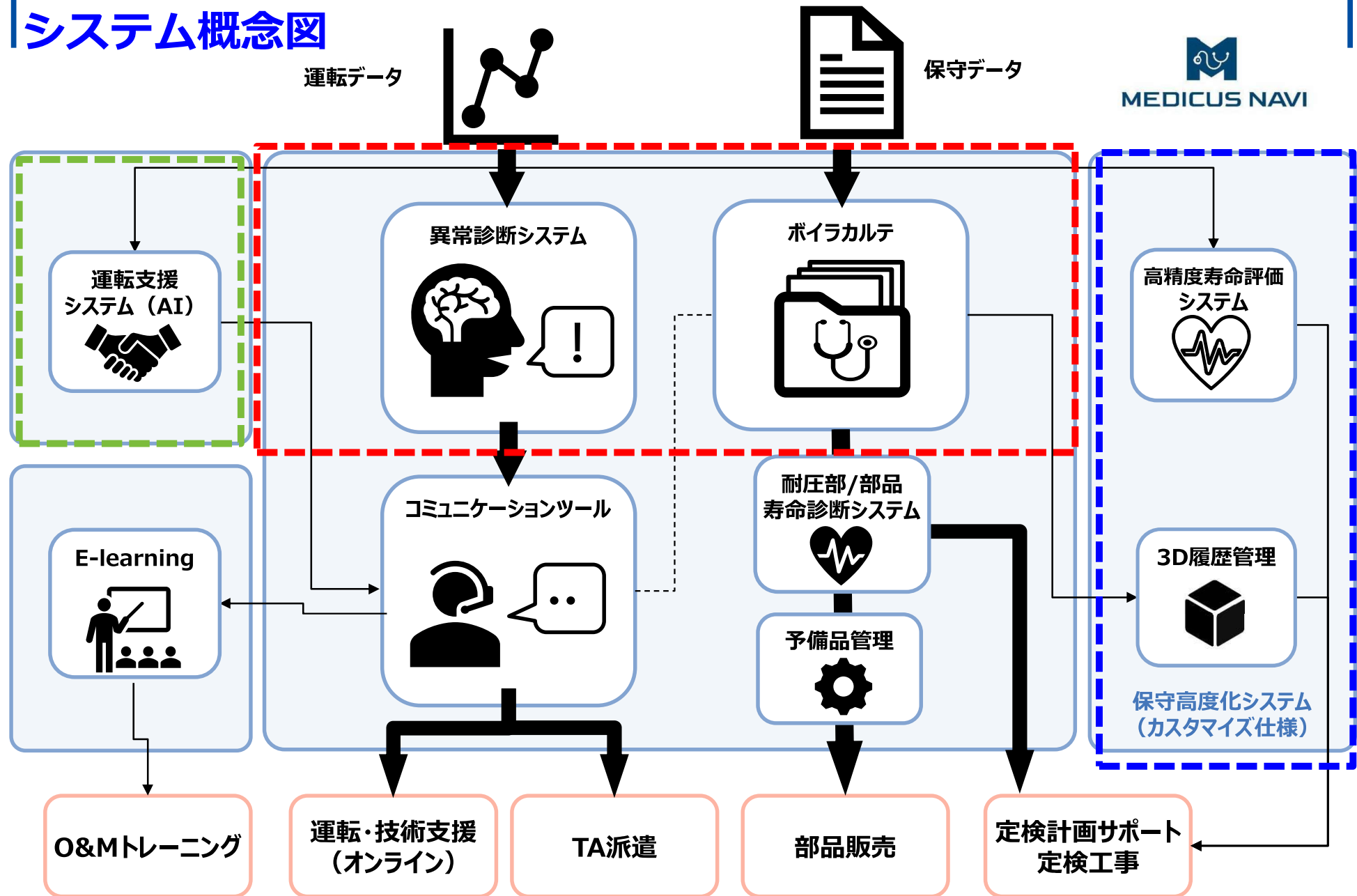
③3Dによる保守履歴



- ①ボイラーの部位別に保守結果を登録し、
 - ②保守履歴管理表または③3D表示により保守履歴（色分けによりわかり易く表示）が確認できます。
- これにより、効率的なボイラーの保守管理を可能とします。

2.5 運転支援システム(AI)

システム概念図



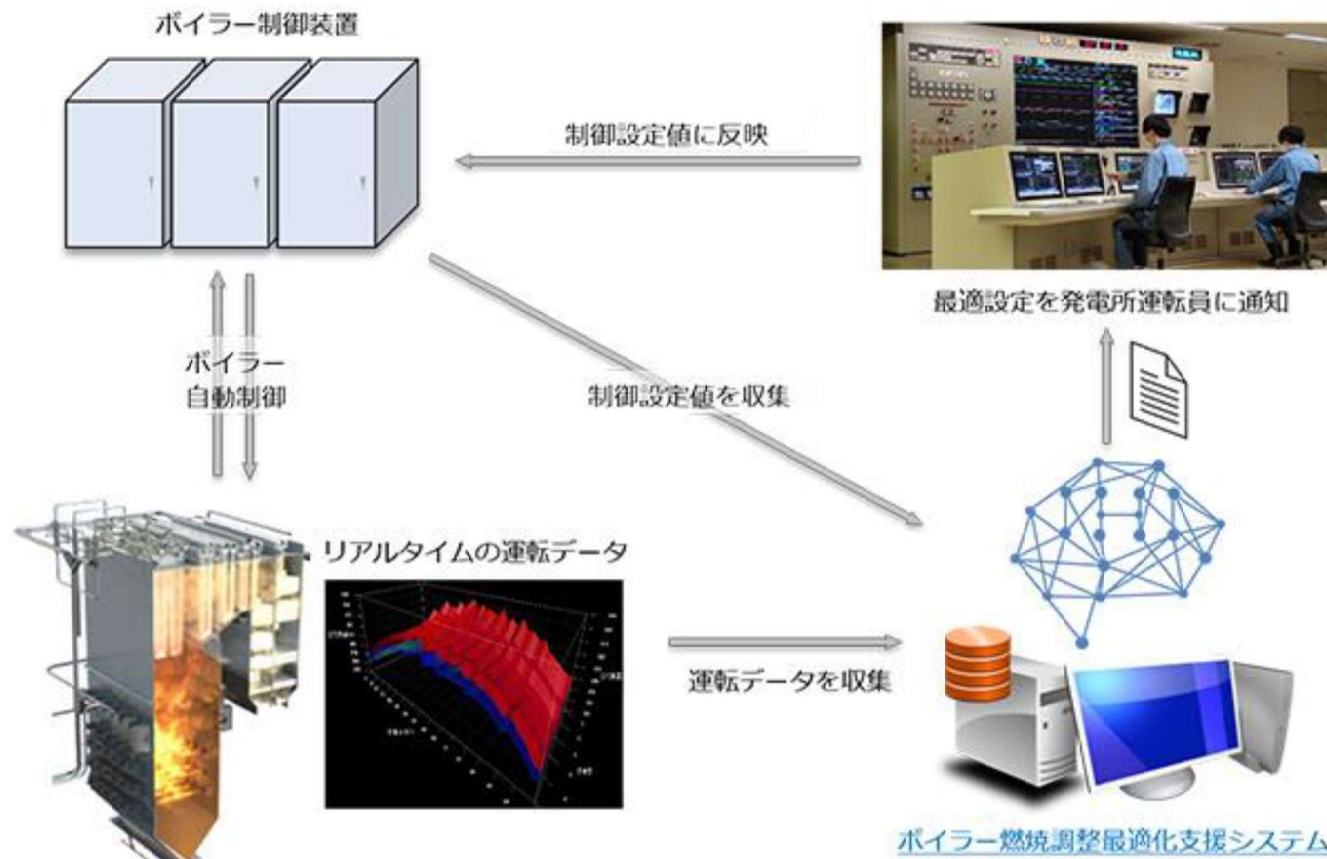
2.5 運転支援システム(AI)

AI活用による運転最適化

ボイラ燃焼調整最適化支援システム

国内電力会社とAIによるボイラ燃焼調整最適化支援システムを共同開発し、運用を開始

運転支援
システム(AI)



- リアルタイムのボイラ運転データ
- 最適な燃焼状態のモデルデータ
- 期待する効果
- ボイラ効率の経時的な低下を抑制
 - ボイラ関連機器運転コスト低減
 - ボイラ寿命消費の低減

3. ボイラ点検補修における新技術導入

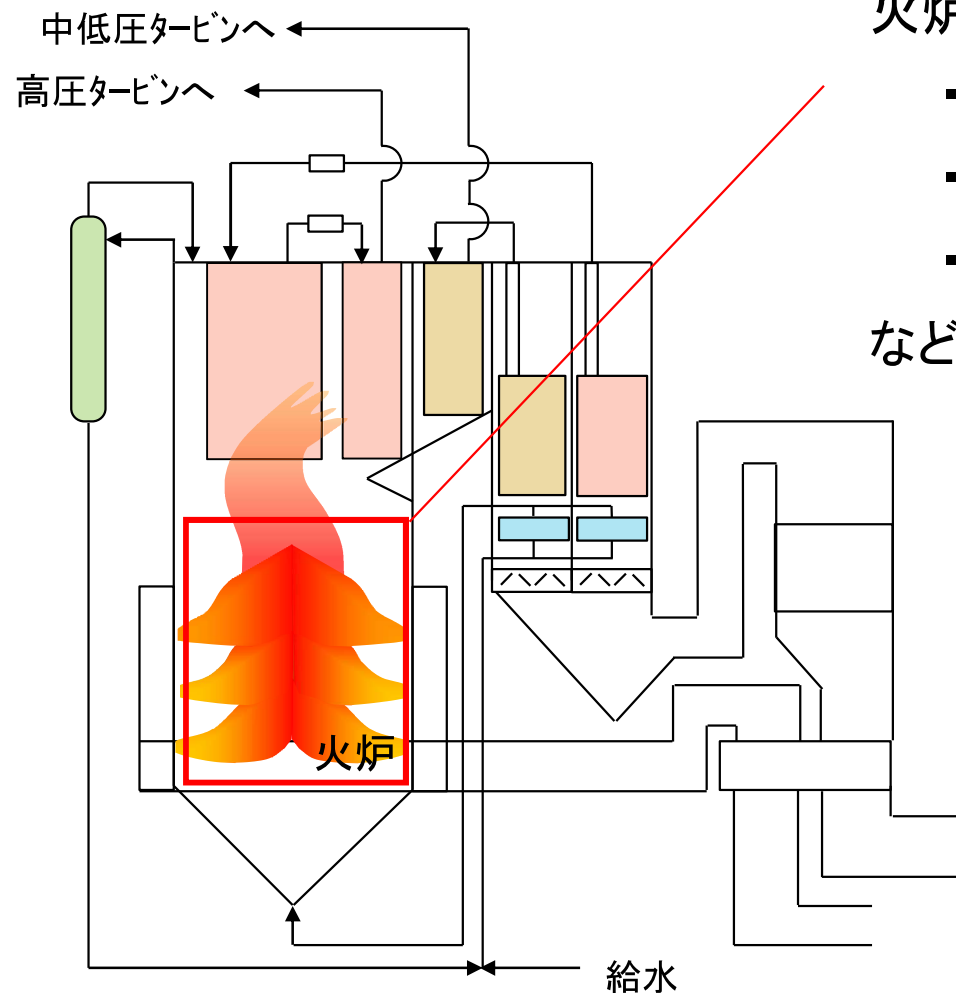
- 3.1 涡電流探傷によるファイアクラック検査技術
- 3.2 オーステナイト系ステンレス鋼の寿命評価

3.1 涡電流探傷(ET)によるファイアクラック検査技術



3.1.1 背景

火炉壁管における劣化・損傷



火炉壁管においては、

- ・ファイアクラック
- ・硫化腐食
- ・摩耗(エロージョン)

などにより劣化・損傷が生じる可能性がある

[火炉の環境]

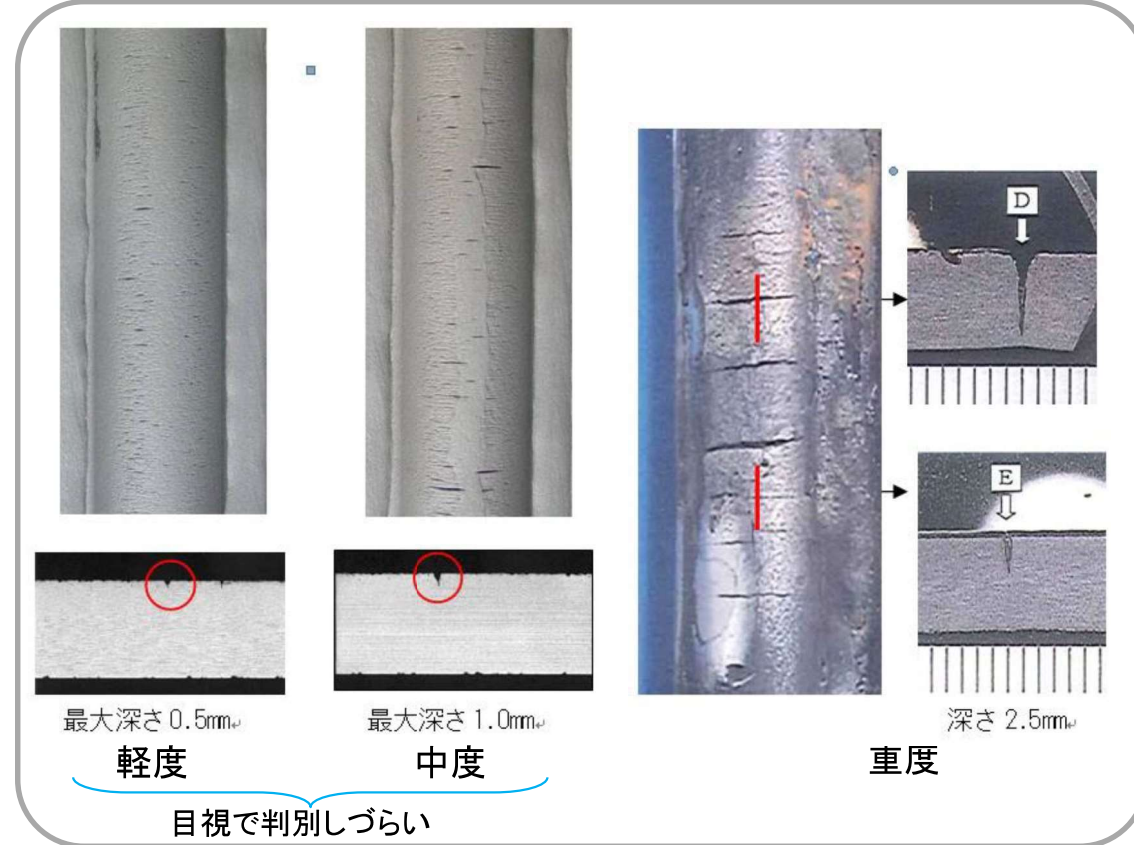
- ・還元性の腐食環境
- ・火炎ゆらぎによる熱応力
- ・燃焼灰・蒸気による摩耗環境
(ウォールデスラガ近傍など)

**火炉壁管の劣化状況の把握・管理が
重要となる**

3.1.1 背景

ファイアクラック(エレファンツキン)は、
熱／繰返し応力／腐食環境
の3つの要素が重畳して発生するき裂

通常はブラストにより灰／スケールを
除去したのちに目視点検を実施する



目視による火炉壁管点検の課題

- ・ 灰・クリンカ・スケール除去のためのブラストが必須
- ・ ファイアクラックの目視の評価と深さは必ずしも一致しない

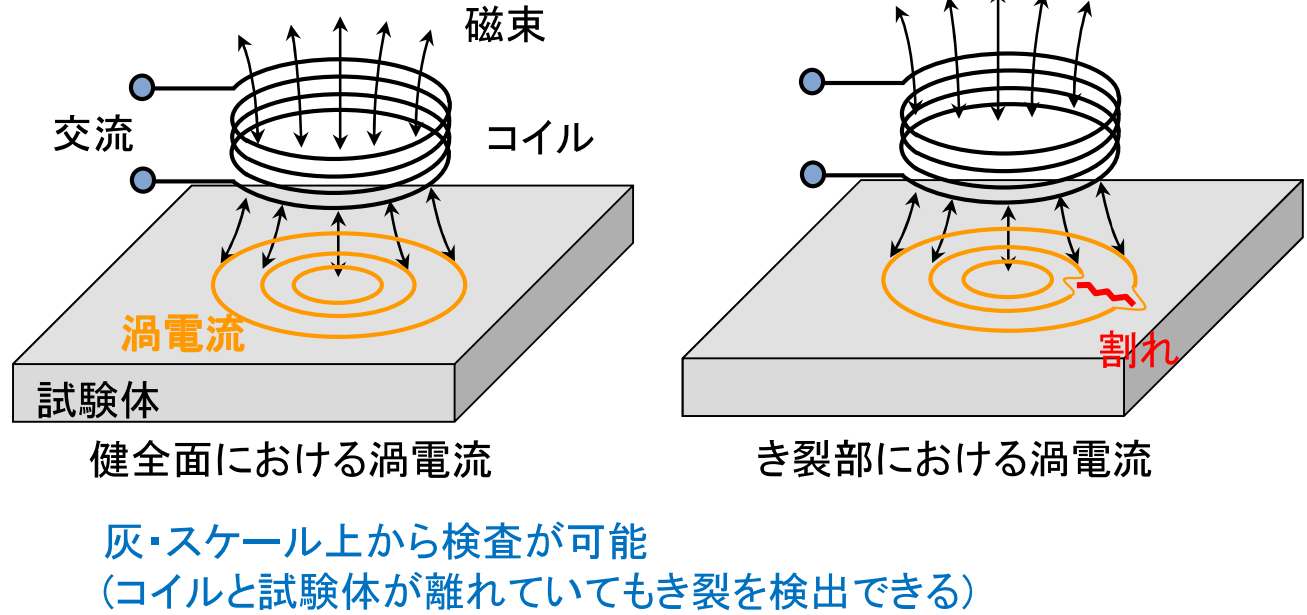
ファイアクラックの代表例

渦電流探傷試験 (Eddy current Testing: ET) のプローブ・探傷条件の適正化により
灰・スケールを除去することなくファイアクラックを評価できる スクリーニング検査手法を開発

3.1.2 機器構成・プローブ

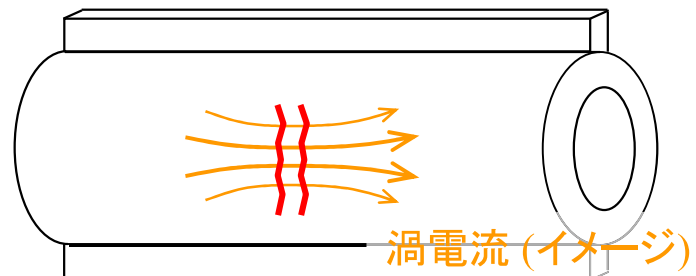
ET(Eddy current Testing:渦電流探傷)の原理

誘導電流により
表層に渦電流が流れる
↓
き裂により
渦電流が乱れる
↓
渦電流から発生する
磁束が変化する
↓
磁束の変化を
コイルなどで検出する



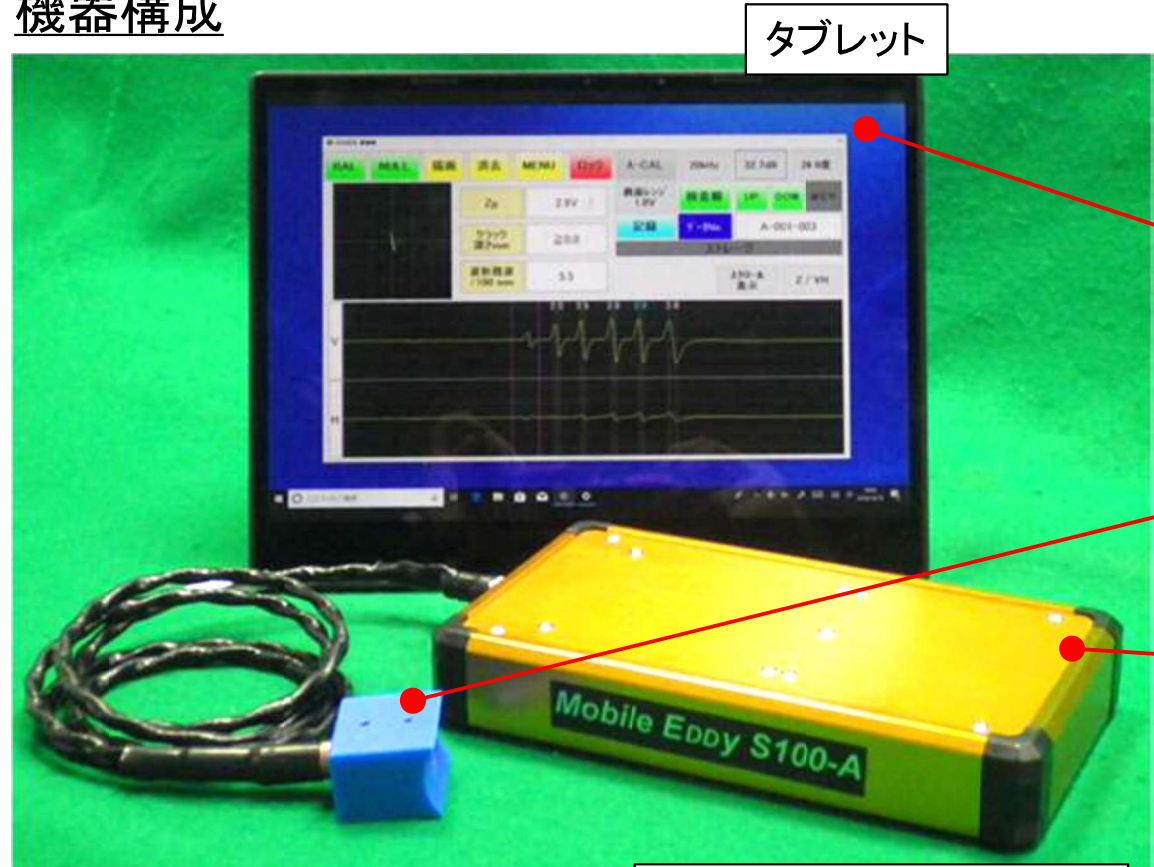
プローブ検討において留意した事項

- ・渦電流が軸方向に多く流れるようにコイルを配置
(ファイアクラックの検出性を高めるため)
- ・リフトオフに影響されにくいような検出コイルを設計
↳ 探傷面とプローブの間隔
(フェライト径, 長さ, コイル巻き数など)
- ・磁性のノイズの影響を軽減したコイル設計
→ 探傷装置側で周波数フィルターが不要(プローブの走査速度が変動しても信号強度が変動しない)



3.1.2 機器構成・プローブ

機器構成



特徴

ポータブルな装置

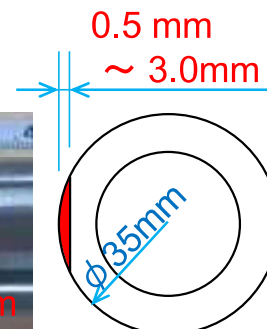
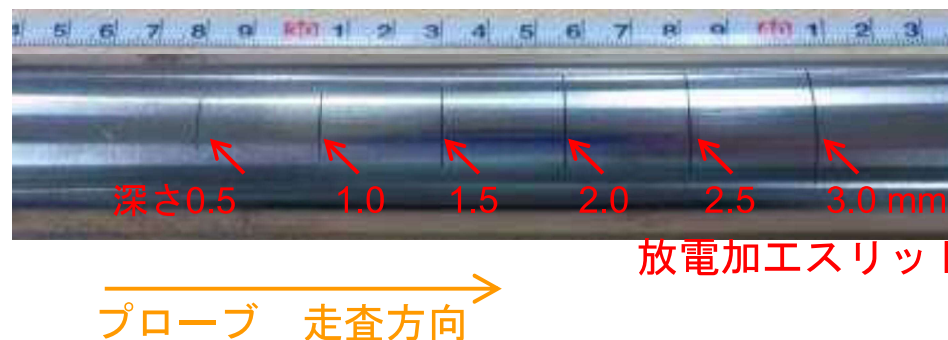
走査しやすいプローブ

探傷ノイズの低減

3.1.3 きず導入試験体での検証

人工きず試験体による検証

人工きず(放電加工スリット)を用いて
きず検出性を検証

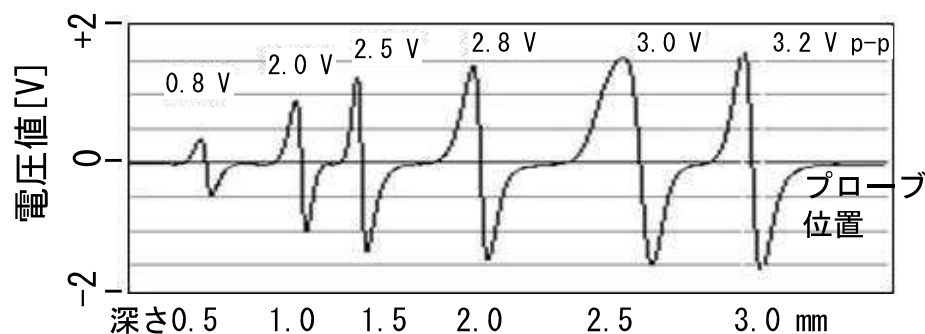


管頂部にプローブを当てて、
軸方向に走査する



探傷状況

試験結果



- それぞれのスリットにおいて、信号が出現。
- 深さに応じて振幅が増加
(特に0.5 mm ~ 2.0 mm
にて振幅変化が大きい)

3.1.4 火炉壁管メンテナンスへの適用について

開発技術による火炉壁管 検査フロー(案)

- ① 探傷範囲を選定
- ② 開発技術による火炉壁管 スクリーニング検査を実施
- ③ 検査結果をもとに、
代表箇所の肉厚測定を実施
③' 研削によるクラック深さ確認を実施
(必要に応じて)
- ④ 修理時期・方法／
経年管理についてご提案

従来の火炉壁管ファイアクラック検査

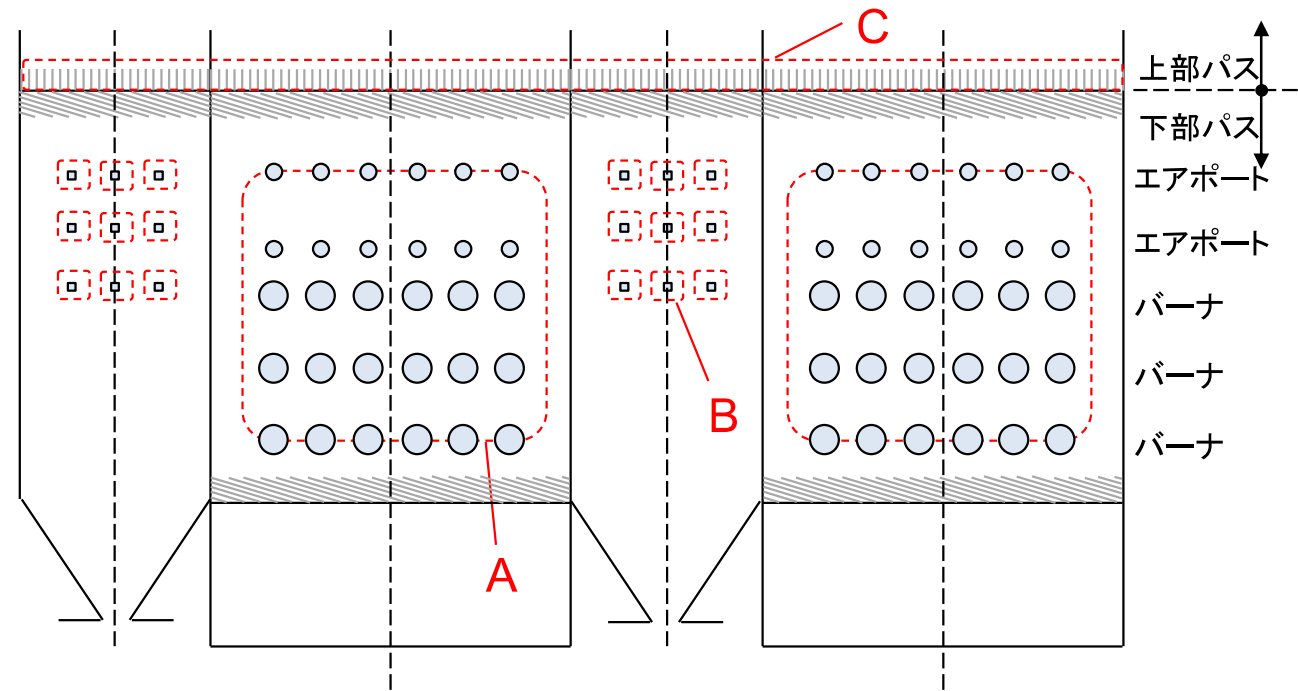
- 探傷範囲の選定
- 点検範囲のブラストによる
灰・スケールの除去
- ファイアクラックの目視による定性評価
- 代表箇所の研削によるクラック深さ確認
- 修理時期・方法について協議

工期の短縮化／クラック深さの半定量化により、
火炉壁管の保守管理に大きく貢献できる

3.1.4 火炉壁管メンテナンスへの適用について

火炉壁管 検査フロー

- ① 探傷範囲を選定**
- ② 開発技術による火炉壁管スクリーニング検査を実施
- ③ 検査結果をもとに、代表箇所の肉厚測定を実施
- ③' 研削によるクラック深さ確認(必要に応じて)
- ④ 修理時期・方法／経年管理についてご提案



ファイアクラックが生じやすい箇所

A: バーナ / エアポート 近傍

B: ウォールデスラガ近傍

C: 火炉壁管 上部パス(下部)

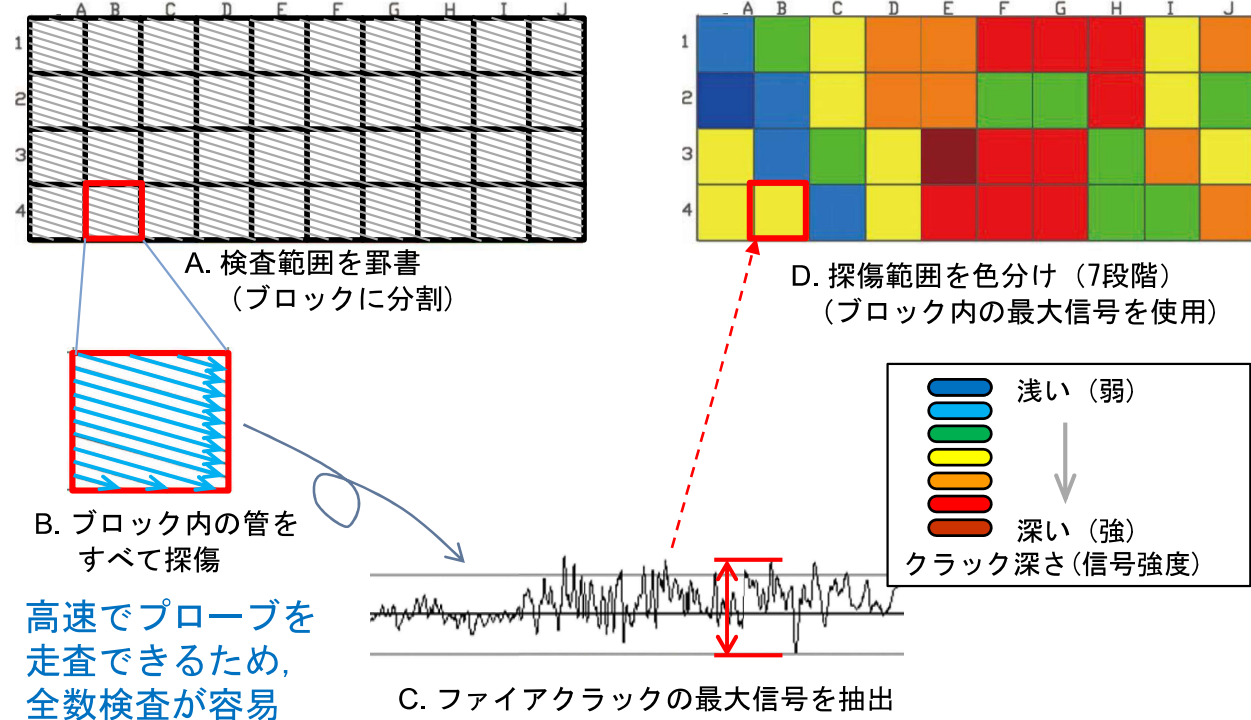
など

ボイラの状況／過去の調査結果を踏まえて
検査すべき箇所を協議・選定する

3.1.4 火炉壁管メンテナンスへの適用について

火炉壁管 検査フロー

- ① 探傷範囲を選定
- ② 開発技術による火炉壁管スクリーニング検査を実施
- ③ 検査結果をもとに、代表箇所の肉厚測定を実施
- ③' 研削によるクラック深さ確認(必要に応じて)
- ④ 修理時期・方法／経年管理についてご提案



検査範囲の全数検査により、重大なファイアクラックを見逃さない

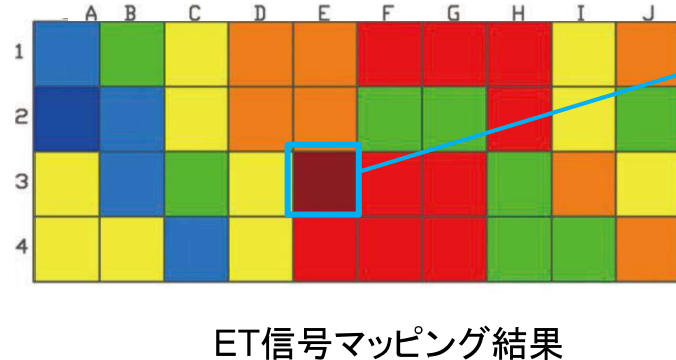
マッピングによる管理ポイントの明瞭化

3.1.4 火炉壁管メンテナンスへの適用について

火炉壁管 検査フロー

- ① 探傷範囲を選定
- ② 開発技術による火炉壁管スクリーニング検査を実施
- ③ 検査結果をもとに、代表箇所の肉厚測定を実施
- ③' 研削によるクラック深さ確認(必要に応じて)
- ④ 修理時期・方法／経年管理についてご提案

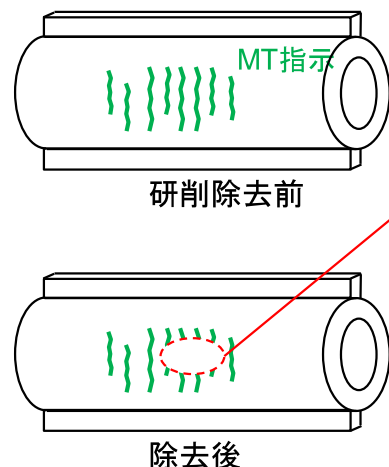
代表箇所の肉厚測定



クラックの顕著な場所を中心に
灰・スケールを部分的に除去し
肉厚測定を実施する

硫化腐食／エロージョン
による減肉状況の確認

クラック深さ確認



管頂部の一部を、MT(磁粉探傷)で確認しながら
研削を実施

初回のET検査では、
結果の整合性の確認のため
実施しておくことが望ましい

3.1.4 火炉壁管メンテナンスへの適用について

火炉壁管 検査フロー

- ① 探傷範囲を選定
- ② 開発技術による火炉壁管スクリーニング検査を実施
- ③ 検査結果をもとに、代表箇所の肉厚測定を実施
- ③' 研削によるクラック深さ確認
(必要に応じて)
- ④ 修理時期・方法／
経年管理についてご提案

ETマッピング結果、肉厚測定結果およびクラック深さをもとに、
補修・管理についてご提案

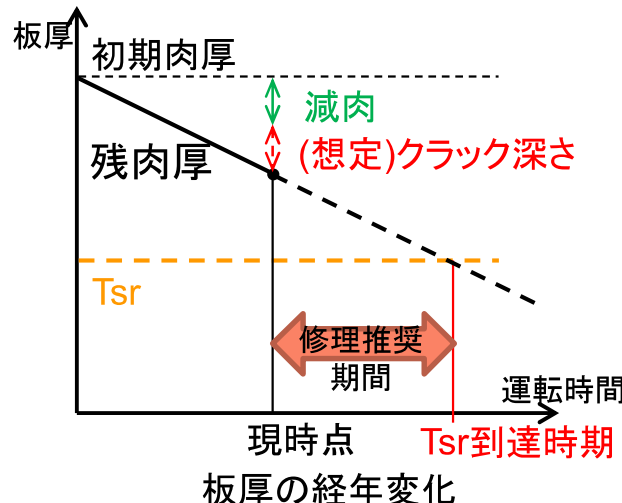
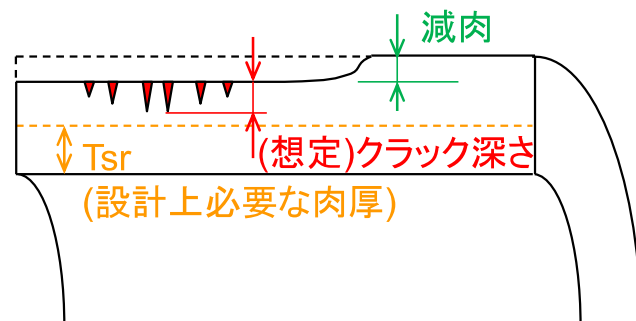
リーズナブルな保守管理の提案

補修 適切な修理時期を選定

- ・ 肉盛溶接 (応急／部分処置)
- ・ インコネル肉盛管／溶射管への取替

管理 マッピングによる管理ポイントの明瞭化

- ・ クラック／減肉が厳しい箇所の追跡調査

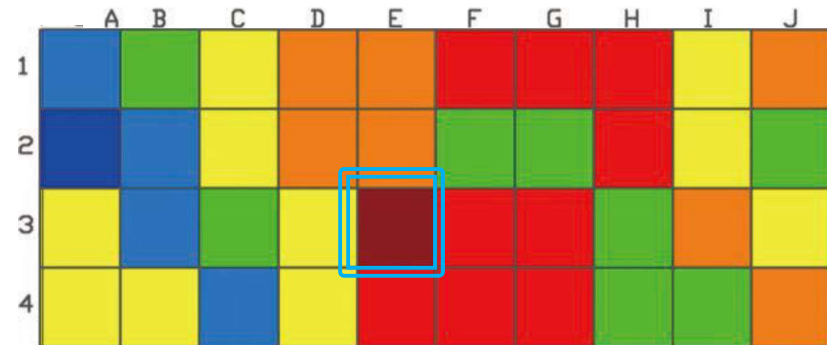


3.1.5 まとめ

本技術を火炉壁管メンテナンスへ用いることのメリット

① リーズナブルな保守管理の提案

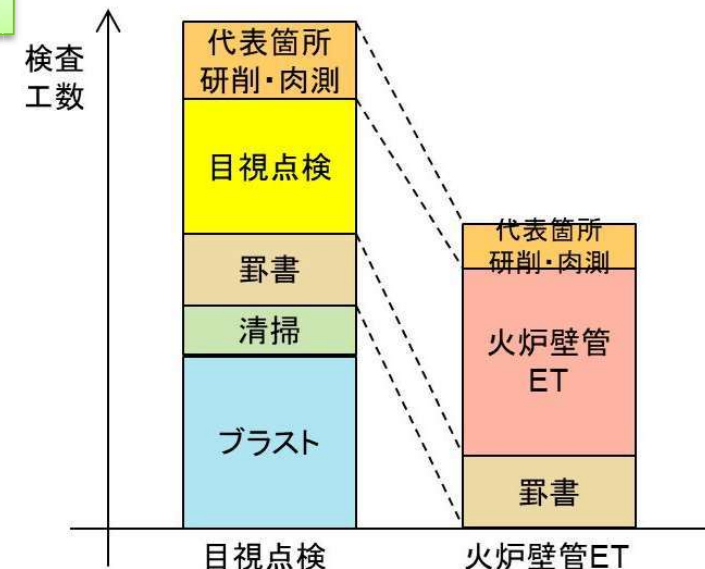
- ・ファイアクラックを半定量的に評価可能となる
- 監視・補修が必要なファイアクラックを見逃さない
- ⇒ プラントの安全・安定的な運用へ貢献
- ・マッピングによる管理ポイントの明瞭化



マッピングによって、7段階で分類
修理・監視すべきポイントが分かる

② ブラストなしで検査が可能となる(工期低減)

- ・高速な検査
- ⇒ 検査範囲の全数検査が可能
- ・ブラスト工数・産業廃棄物の削減
- ・炉内での夜間作業枠の拡大

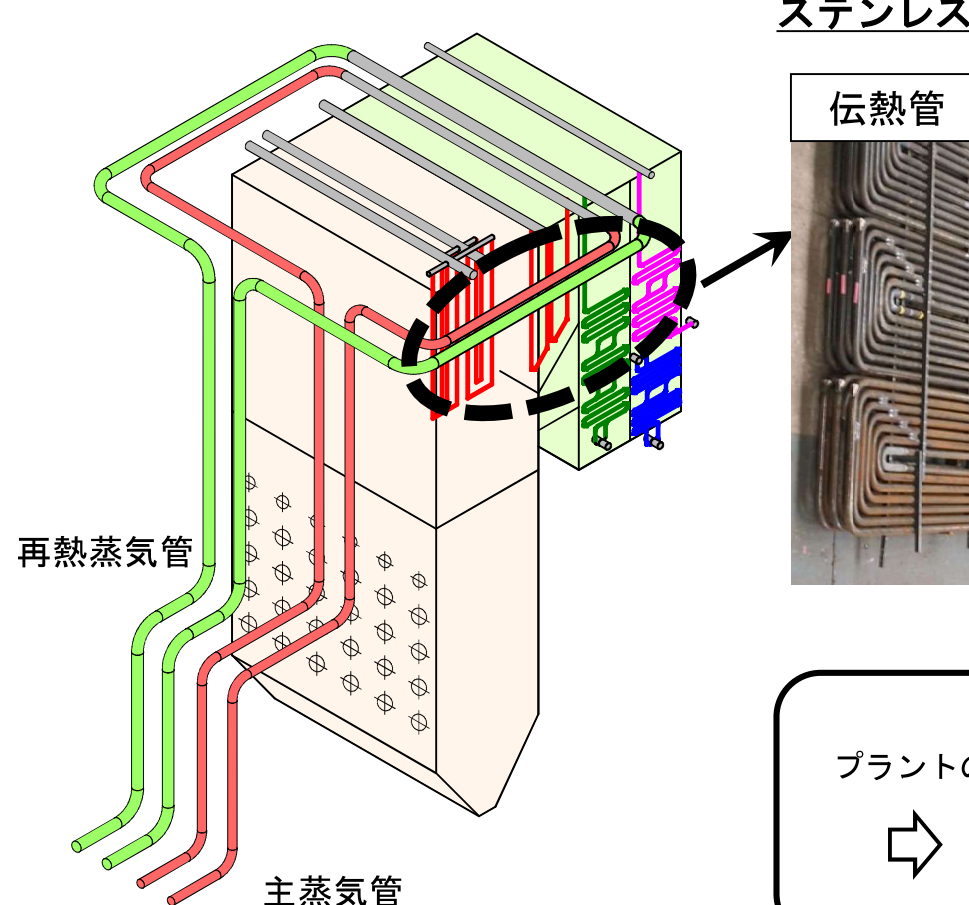


3.2 オーステナイト系ステンレス鋼の寿命評価



IHI

3.2.1 はじめに



トラブル事例



Ref. C. Che et al. : Proceedings from the Eighth International Conference (2016) 348

多くのUSCボイラの運転時間
は100,000hを超えている

プラントの安全で安定的な運用のために…

⇒ クリープ寿命を高精度に
評価することが重要

3.2.2 “Larson-Miller-Parameter” によるクリープ寿命評価

Ref. 丸山公一, 中島英治, “高温強度の材料科学”

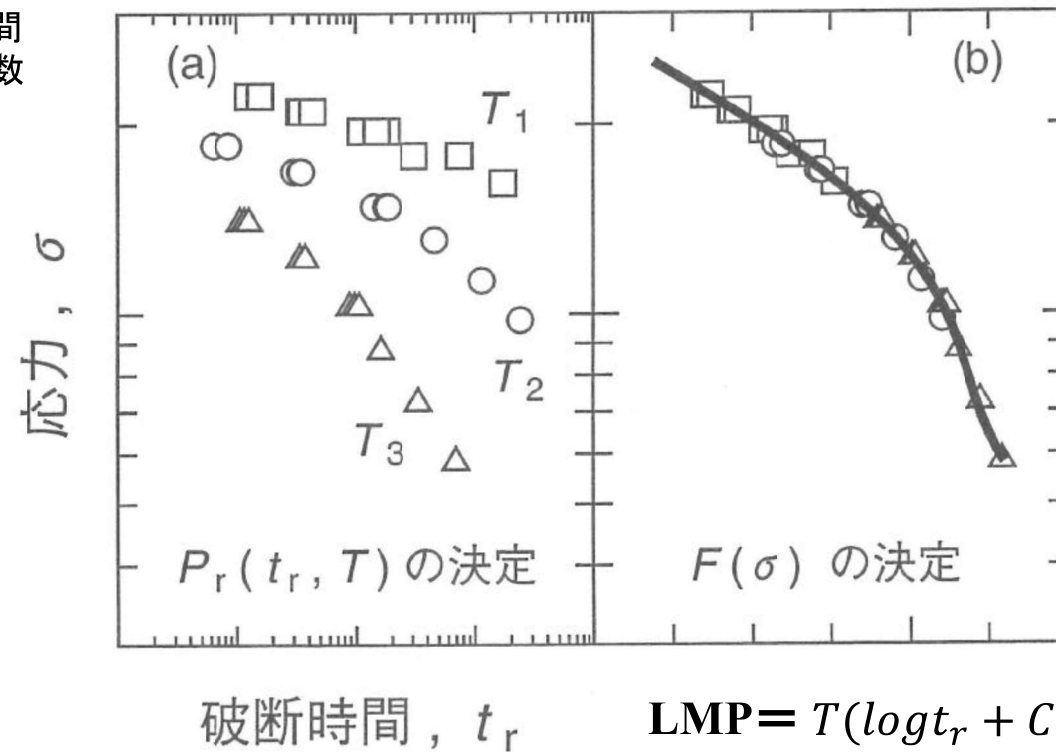
“Larson-Miller-Parameter”

$$T(\log t_r + C) = \text{LMP} = F(\sigma)$$

T : 温度

t_r : 破断時間

C : 材料定数

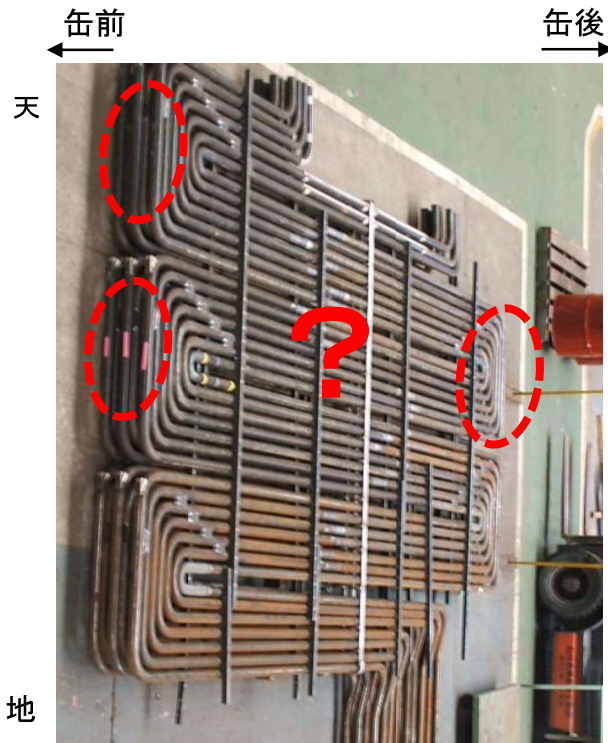


3.2.2 “Larson-Miller-Parameter” によるクリープ寿命評価

“Larson-Miller-Parameter”

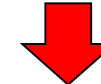
$$T(\log t_r + C) = LMP = F(\sigma) \quad \rightarrow$$

$$\log(t_r) = \frac{LMP}{T} - C$$

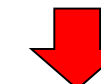


温度？

- ・伝熱管のメタル温度は各部位で異なる。
- ・直接温度を測定することができない。



寿命評価を実施するためには
温度推定手法の確立が必要！！

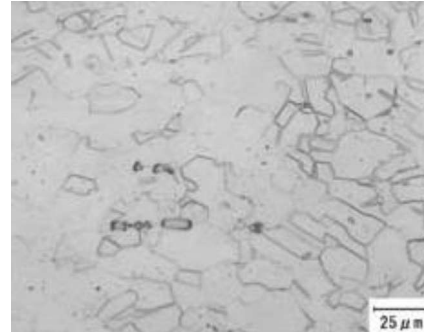


オーステナイト系ステンレス鋼の寿命評価手法の確立を目的に、ミクロ組織変化からメタル温度を推定可能か検討した。

3.2.3 クリープ試験(試験条件)

供試鋼

オーステナイト系ステンレス鋼：火SUS304J1 HTB
(ASME Code Case 2328)



化学組成 (wt.%)

C	Si	Mn	P	S	Ni	Cr	Nb	N	Cu	Fe
0.08	0.21	0.82	0.034	<0.001	8.82	18.47	0.49	0.11	3.05	Bal.

クリープ試験

- 内圧クリープ試験

750°C, 60~100MPa (フープ応力)

- 単軸クリープ試験 ($\phi 6\text{mm}$)

700°C, 90~230MPa

750°C, 60~120MPa

※ for Internal pressure creep tests

組織観察

OM,

SEM

σ 相粒子径の定量評価

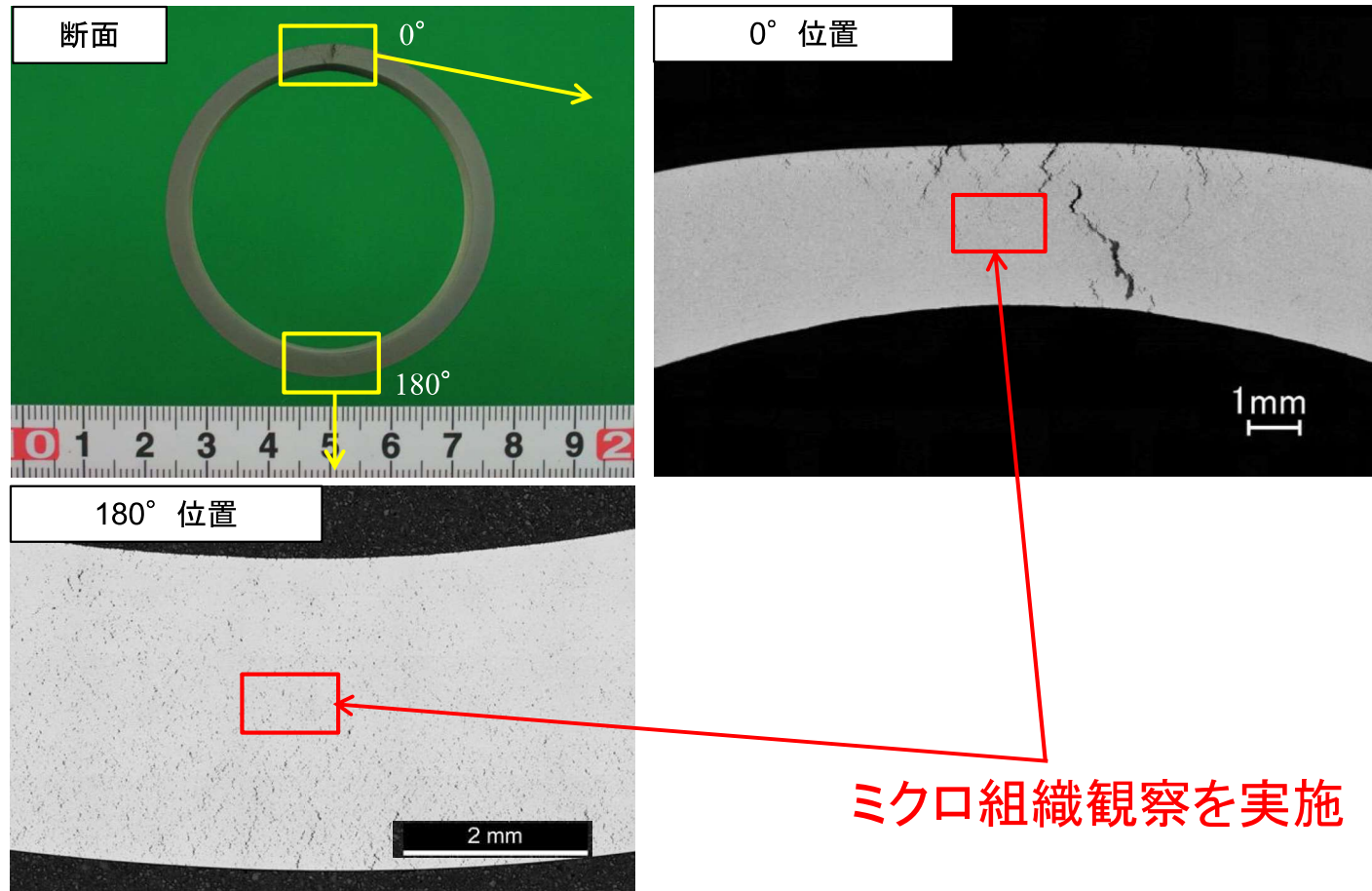
- 1000~2000倍 5視野
- 円相当径として算出.



3.2.3 クリープ試験(試験体の外観)

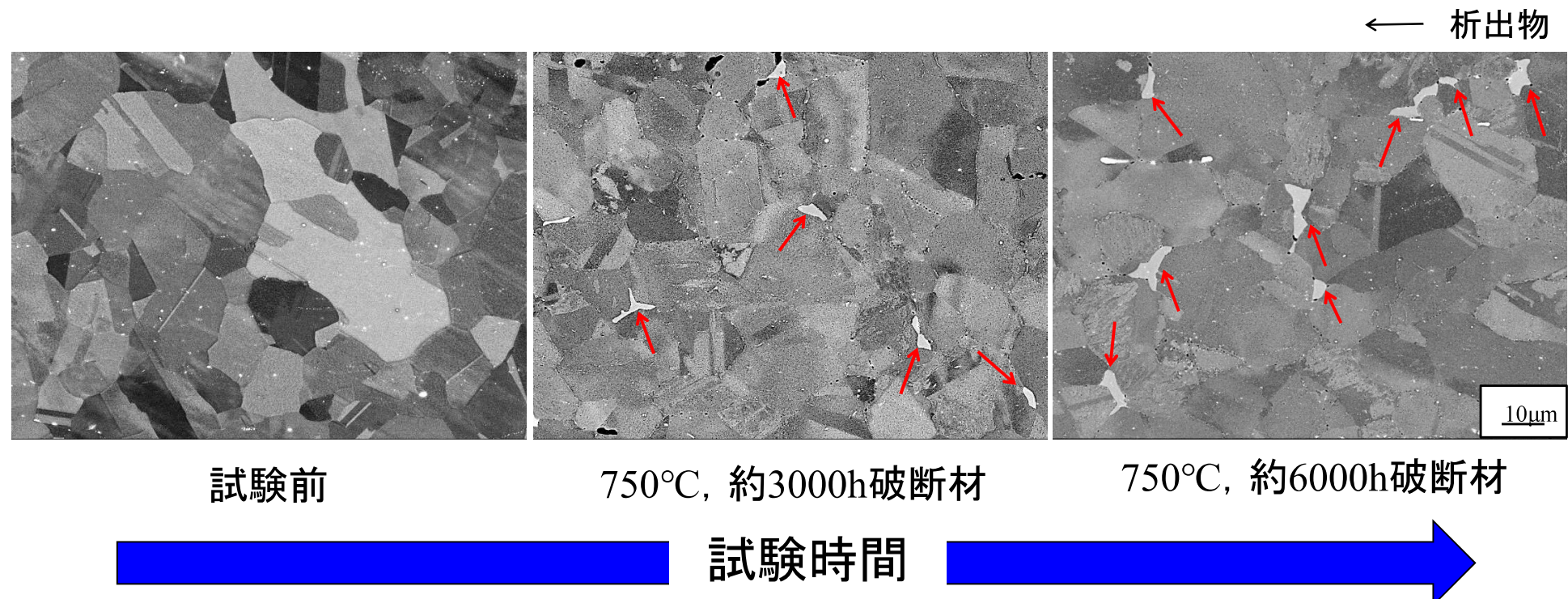


3.2.3 クリープ試験(断面マクロ観察結果)



3.2.3 クリープ試験(破断材のSEM観察結果)

クリープ環境下におかれたオーステナイト系ステンレス鋼の金属組織には σ 相が析出し、試験時間に伴い粗大化していることが分かった。



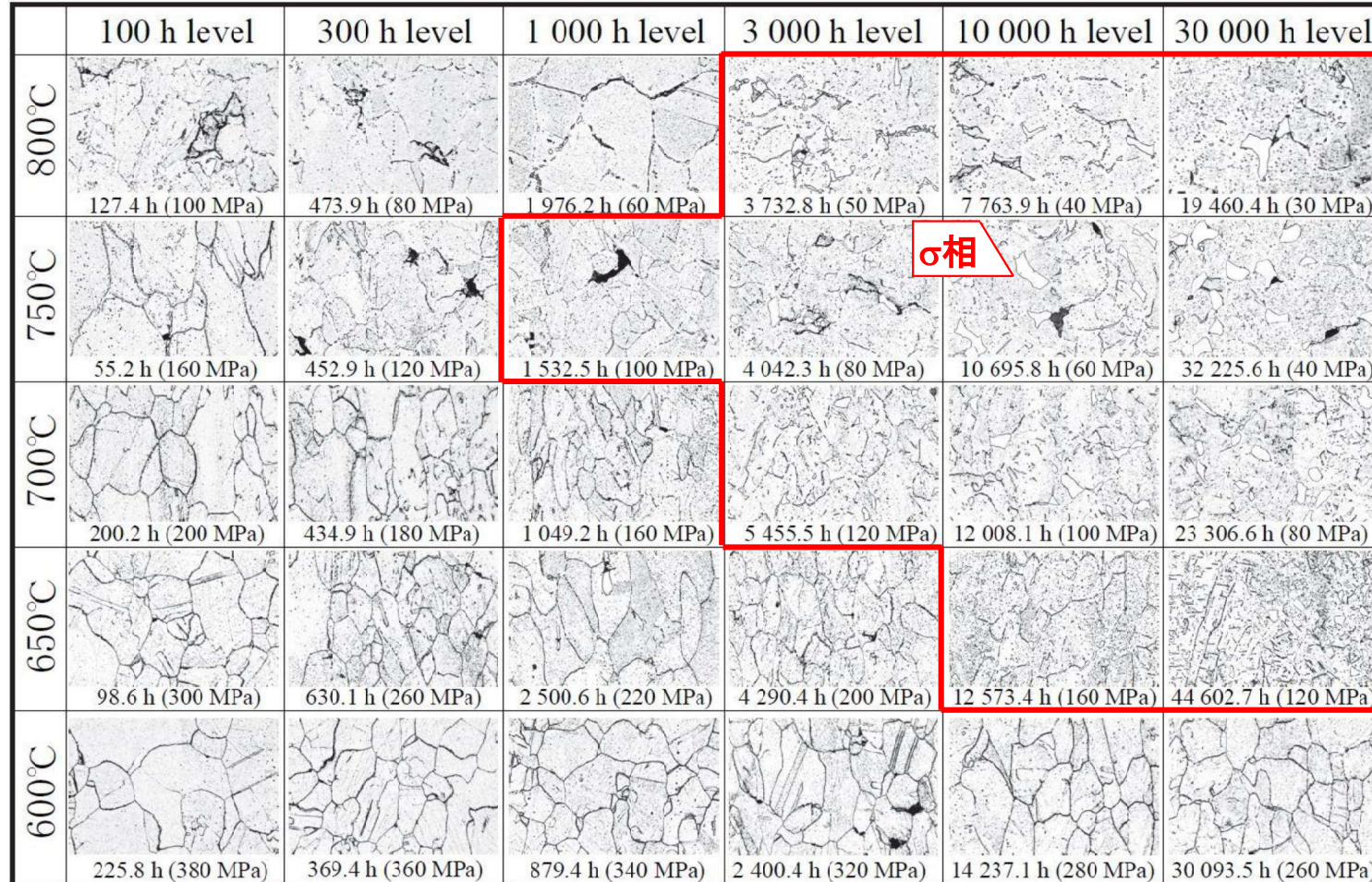
火力原子力発電技術協会「ステンレス鋼管の寿命評価」塩田 他(2021)



3.2.3 火SUS304J1 HTB クリープ破断材組織 (NIMS-CDS)

Ref. NIMS creep data sheet No. M-11

<Gauge portion>

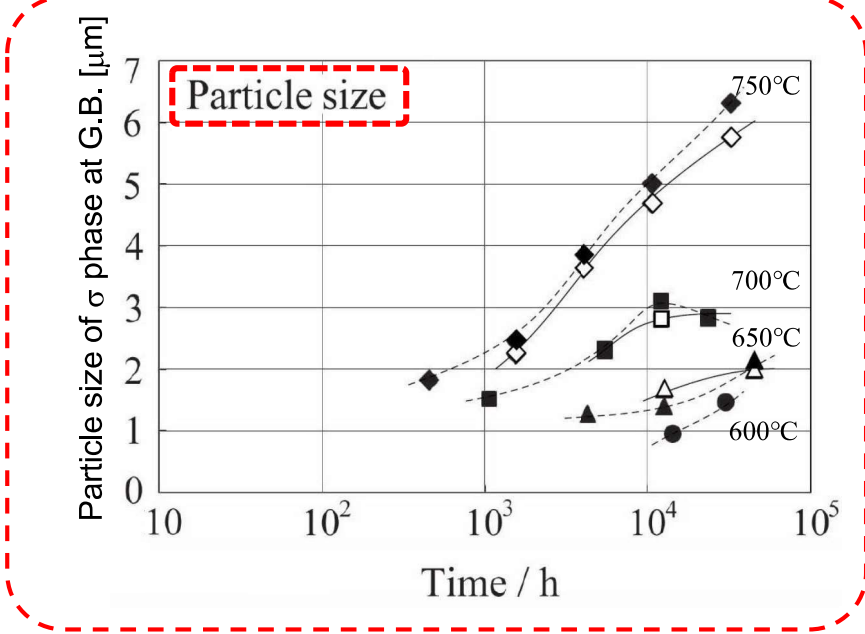


σ相

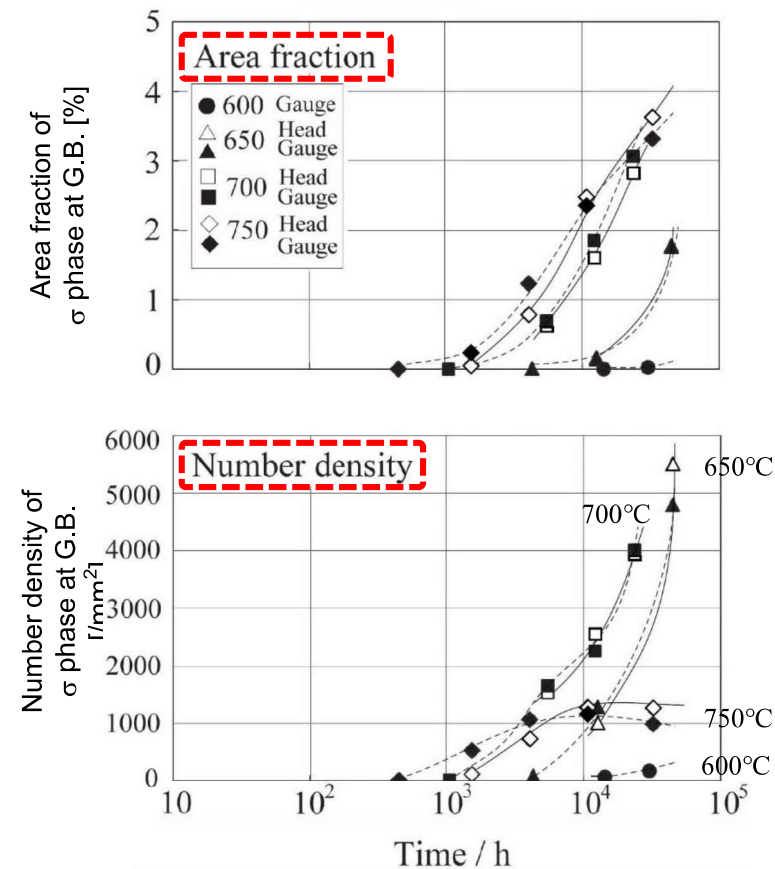
NIMSの試験結果においても
長時間ではσ相が析出！！

3.2.3 σ 相の定量評価 (NIMS-CDS)

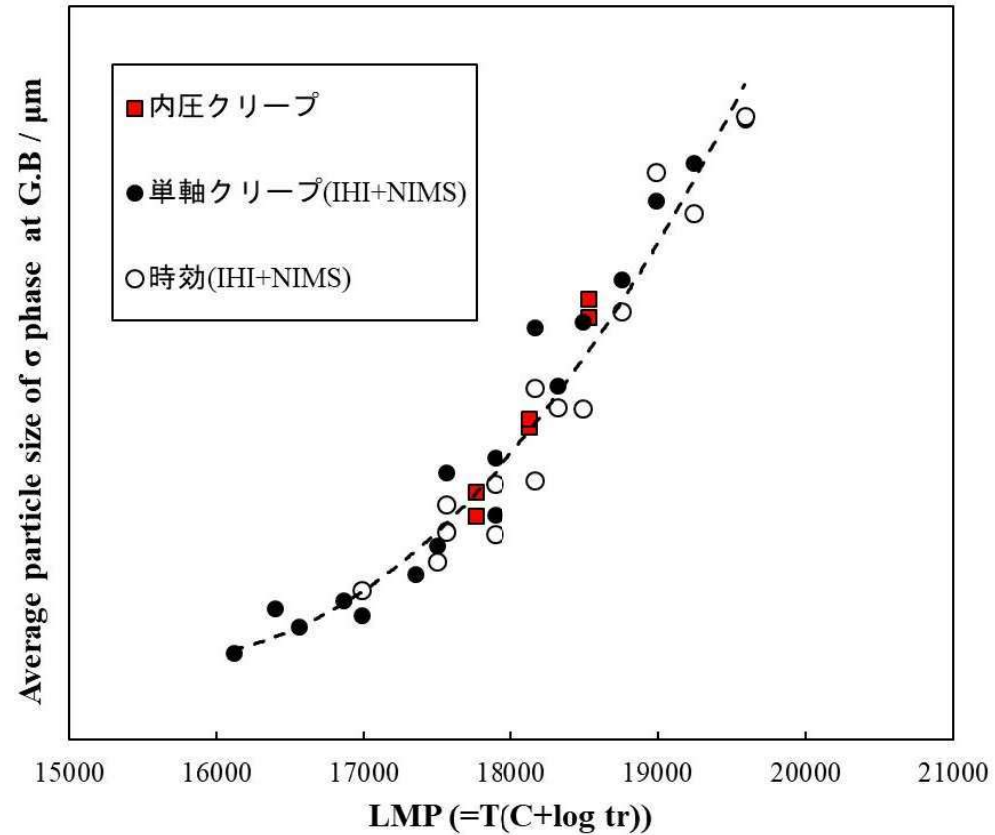
Ref. NIMS creep data sheet No. M-11



高温,かつ,長時間ほど σ 相粒子径は大きい。
→ σ 相の粒子径変化をLMPで整理！！



3.2.3 クリープ試験(σ 相粒子径とLMPの関係)



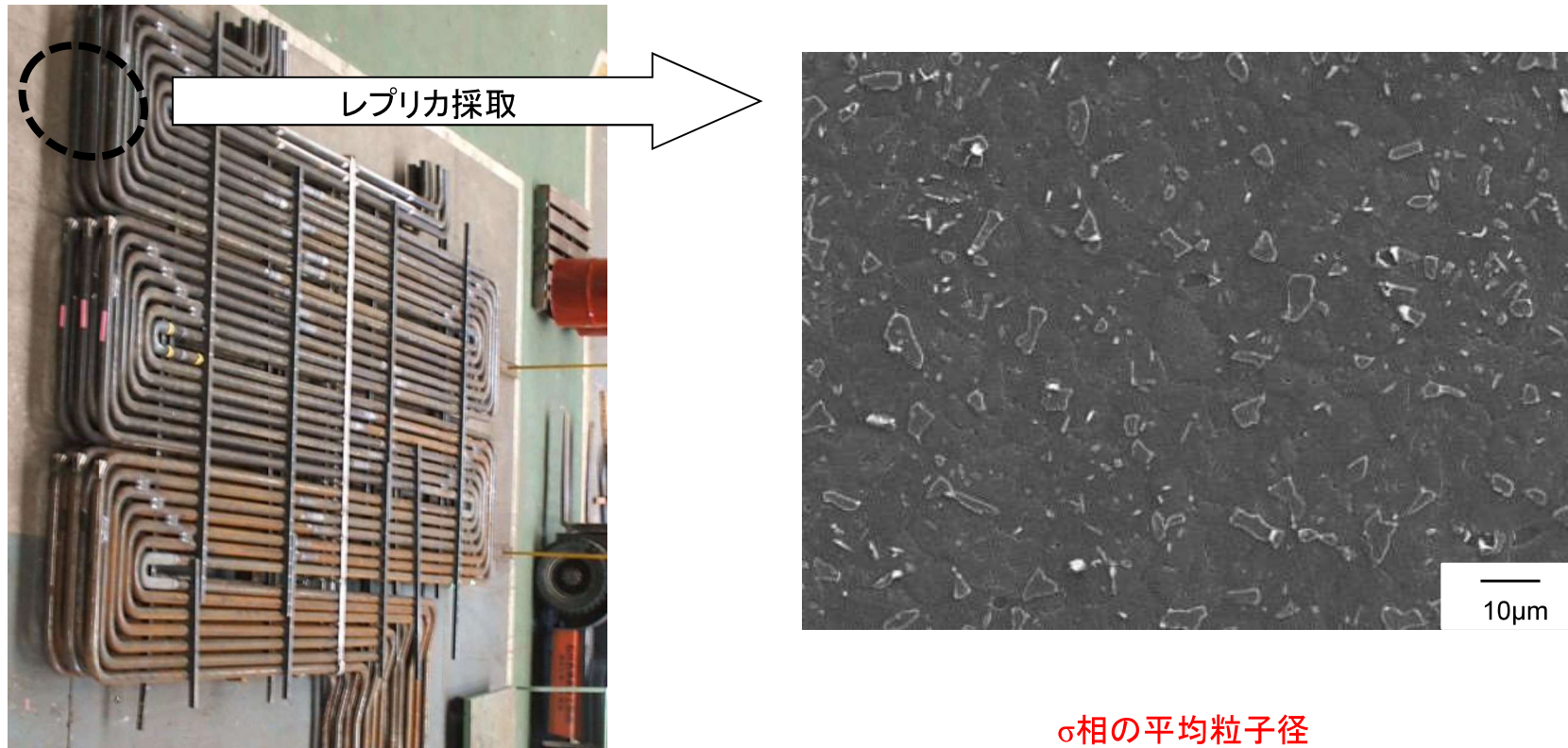
- ・ σ 相の粒子径変化は、LMPを用いて特定の関数にて整理できる。
- ・この関係は応力状態に依らず成立する。



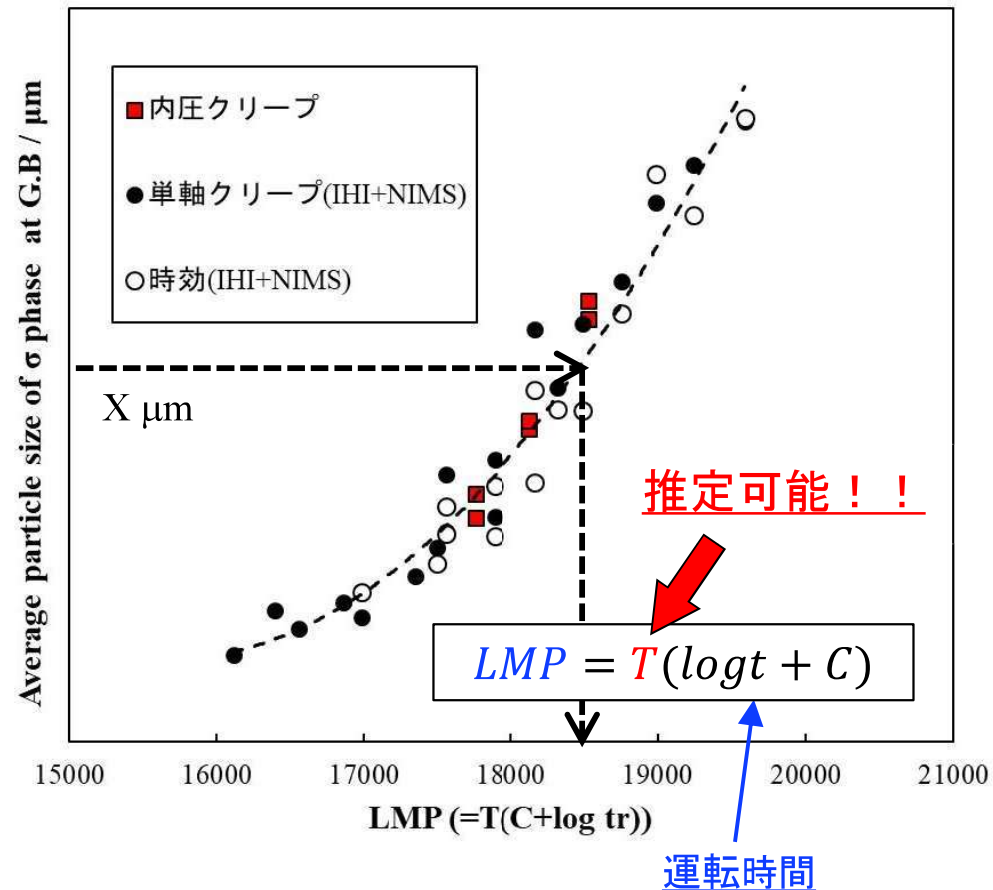
脱炭素に
技術と創意

IHI

3.2.4 ステンレス鋼の寿命評価手法



3.2.4 ステンレス鋼の寿命評価手法



σ 相の粒子径測定から、
温度推定が可能！！

3.2.4 ステンレス鋼の寿命評価手法

“Larson-Miller-Parameter”によるクリープ寿命評価

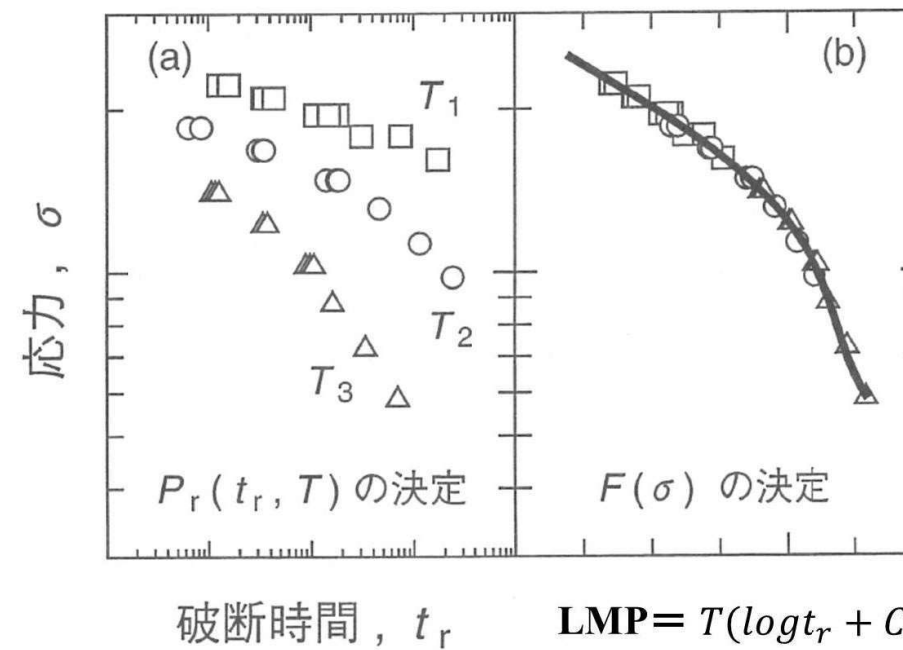
$$T(\log t_r + C) = LMP = f(\sigma) \quad \Rightarrow \quad \log(t_r) = \frac{LMP}{T} - C$$

T : 温度

t_r : 時間

C : 材料定数

推定したメタル温度

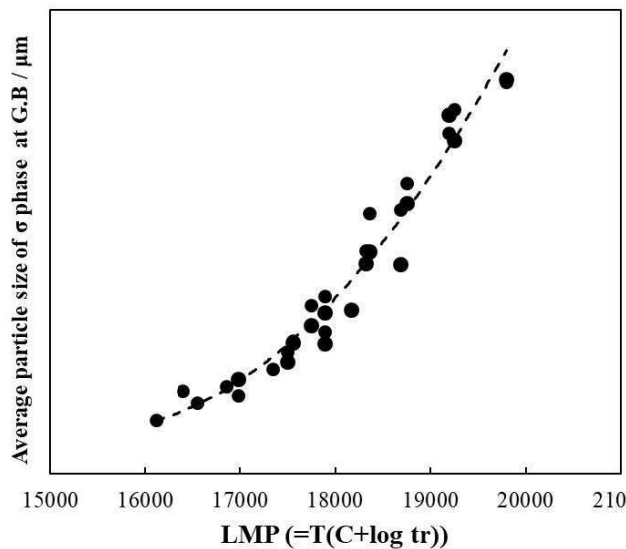


寿命評価が可能！！

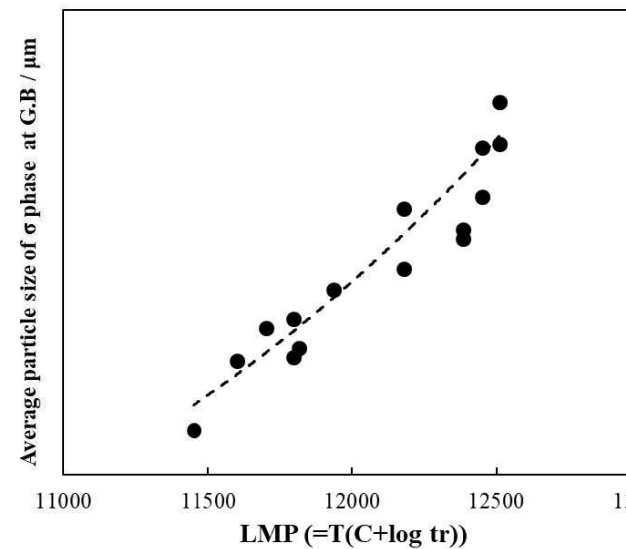
3.2.4 ステンレス鋼の寿命評価手法

オーステナイト系ステンレス鋼の温度推定カーブ

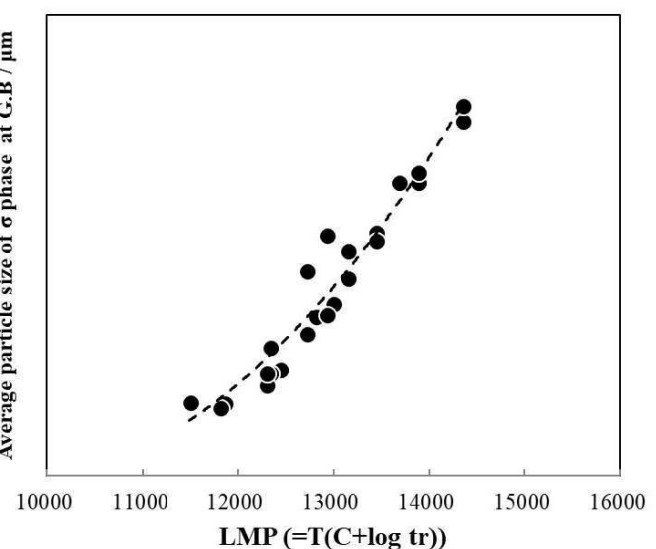
火SUS304J1HTB
(SUPER304H)



火SUS321J1HTB
(TempaloyA-1)



SUS347HTB



・ σ 相の粒子径測定による寿命評価は、種々のステンレス鋼に適用可能である！！

3.2.5 まとめ

オーステナイト系ステンレス鋼 のクリープ寿命評価手法を確立するために、
ミクロ組織変化からメタル温度を推定可能か検討した。その結果、以下の結論を得た。

- ・ σ 相粒子径変化はLMPにより整理可能であり、 σ 相の成長／粗大化挙動における応力の影響はほぼ認められなかった。そのため、 σ 相の粒子径を測定することでステンレス鋼のメタル温度を推定可能である。
- ・温度推定手法は様々なステンレス鋼に適用可能であり、本手法を適用することでステンレス鋼の高精度なクリープ寿命を評価することが可能である。

(抜管材での検証)

約16万時間使用した過熱器非加熱部管(SUSと9Cr鋼の接続管)の抜管材を使用し、

火SUS321J1HTB: σ 相粒径から推定した推定温度（粒径 $2.7 \mu\text{m}$ より、 603°C と推定）

火STBA28: 内面スケール厚さから推定した推定温度（内層スケール $310 \mu\text{m}$ より、 600°C と推定）

4. 耐圧部の延命対策

4.1 インコネル肉盛溶接のボイラパネルへの適用

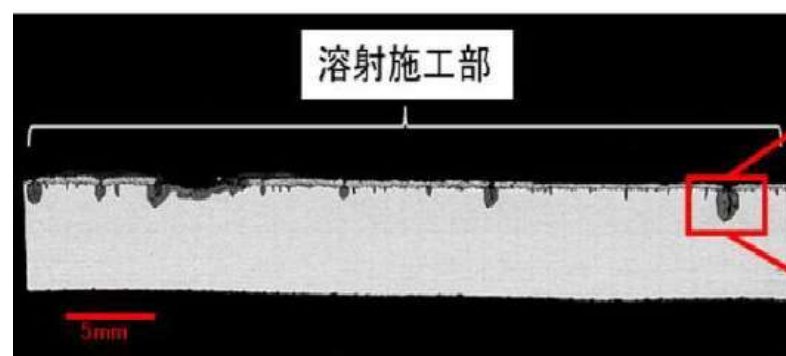
IHI

4.1 背景

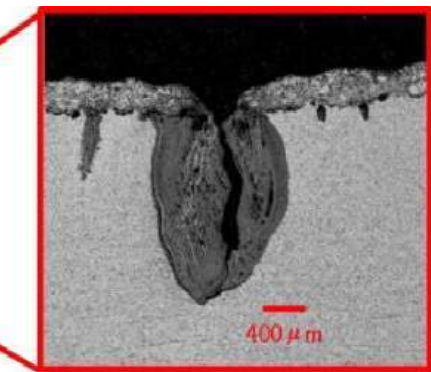
石炭焚きボイラの火炉壁管の腐食・摩耗に対して、従来は溶射により対応してきた。しかし、低NOxバーナーを使用するなど、火炉内が厳しい硫化腐食環境においては数年の運転で溶射部の剥離や割れが発生してしまう。



硫化腐食



溶射部の割れ



「定検期間の短縮」や「定検インターバルの延長」のニーズ。
⇒「インコネル肉盛溶接」の適用によるボイラパネルの延命が注目されている。



4.2 インコネル肉盛溶接 概要

特徴

- 耐食性に優れている(インコネル溶材にCrが多く含まれる)
- 耐摩耗性に優れている(溶射より厚膜化が可能である)
- 肉盛部が減肉した場合に補修できる

⇒火炉の交換頻度を下げることが可能となる



インコネル肉盛
溶接施工部



4.3 インコネル肉盛溶接 取組み

パネルへのインコネル肉盛溶接技術の確立(自動・手動)

課題

✓ 溶接施工条件の選定

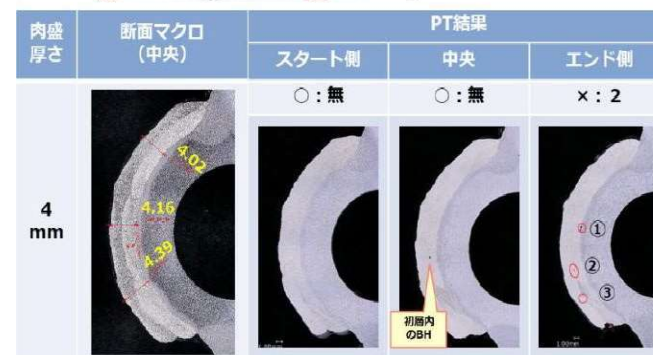
溶材の溶け込みを深い→肉盛部のCr.量が低下する。

溶材の溶け込みが浅い→融合不良が発生する。

✓ 溶接トーチの仕様決定

ボイラメーカーの強み

- ✓ 溶接歪みを考慮した計画ができる。
- ✓ 肉盛厚さの自由度がある。



単なる施工だけでなく、
お客様のニーズに合わせた信頼性のあるサービス提供が可能。
→国内電力会社から受注獲得。

5. おわりに



5. おわりに

火力発電業界は、以下に示すような状況から、非常に厳しい環境に変化してきている。

- ・再生可能エネルギーの拡大（風力発電、太陽光発電など）
- ・CO₂問題からくる石炭火力のフェードアウトおよび低効率発電設備の廃止
- ・水素、アンモニアやバイオ燃料への燃料転換
- ・ポストコロナ社会での省人化・リモート化

しかし、安定した電源としての火力発電は必須であり、今後30年以上はメンテナンス事業が継続していくものと想定する。そこでIHIとしては、検査、据付工事、運転、遠隔監視を含めたメンテナンス業務に、新技術や新手法の開拓・検証を続けていき、お客様の要求に沿った提案内容を広げるため、メンテナンスの高度化を図っていく。

特に今回紹介した技術については、定期検査等で直ちに適用させていくとともに、さらなる改良を進めていく。

**IoT/ICT技術の利用 × 新検査・点検手法
さらなるコスト低減、工期短縮を実現していきます！**

IHI

IHI
Realize your dreams

ご清聴ありがとうございました.